



NYUGAT-MAGYARORSZÁGI EGYETEM
Faipari Mérnöki Kar



Műszaki Mechanika és
Tartószerkezetek Intézet

Dr. Hajdu Endre
egyetemi docens

MŰSZAKI MECHANIKA III.

KINEMATIKA ÉS KINETIKA

**Jegyzet a faipari-, ipari termék és formatervező,
papíripari és mechatronika mérnök
MSC hallgatók számára**

S o p r o n
2 0 0 9

Tartalomjegyzék

3.1. Mozgásfüggvény	3
3.2. Sebesség, gyorsulás	8
3.3. Kinematikai alapfeladatok	14
3.4. A kinetika axiómái és a tömegpont mozgásegyenlete	18
3.5. A tömegpont legfontosabb mozgástípusai	23
- állandó sebességű mozgás	23
- állandó gyorsulású mozgás	23
- Körmozgás	25
- Szabadesés, hajítások	26
- Harmonikus rezgőmozgás	28
- Ciklois mozgás	31
3.6. Faforgácsoló gépek kinematikájának alapjai	34
- Keretfűrészgép	34
- Fűrnérhámozógép	36
- Gyalugép	38
3.7. Munka, teljesítmény, energia	40
3.8. Kinetikai tételek	46
3.9. A forgó mozgás kinematikája	52
3.10. A testek tehetetlenségi nyomatékai	55
3.11. A forgó mozgás kinetikája	60
- forgó testek csapnyomásai	62
- kritikus fordulatszám	65
3.12. A síkmozgás kinematikája	68
3.13. A síkmozgás kinetikája	74
3.14. Ütközés	76

KINEMATIKA ÉS KINETIKA

3.1. Mozgásfüggvény

BEVEZETÉS

A kinematika a mechanikai mozgás térbeli és időbeli lefolyását vizsgálja, lényegében geometriai szempontból, függetlenül a mozgást előidéző októl. A kinetika a mozgást befolyásoló okokat tárja fel. E két tudományág nem választható el egymástól élesen. Ez a jegyzet a kinematikát és a kinetikát együtt tárgyalja.

Valamely test térben és időben végbemenő mozgásának leírásához mindig valamilyen vonatkoztatási rendszert – egy másik testhez kötött koordináta –rendszert – kell felvenni. Vonatkoztatási rendszer nélkül a test mozgásáról semmit sem mondhatunk. Természetesen a vizsgált mozgás függ a választott koordináta-rendszertől, vagyis a mozgás mindig relatív, egy bizonyos vonatkoztatási rendszerhez viszonyított. A mechanika néhány alaptételre, a Newton-axiómákra épül. Ezek az alaptételek csak meghatározott módon választott koordináta-rendszerekben érvényesek. Pusztán kinematikai vizsgálatok céljából azonban más koordináta-rendszereket is alkalmazhatunk. A kinematikai és kinetikai mennyiségek – például a koordináták, erők – méréséhez mértékrendszert kell választani. A továbbiakban kizárólag a nemzetközi mértékrendszert (SI) alkalmazzuk, melynek használatát a magyar szabványok (MSZ4900) kötelezően előírják. A nemzetközi mértékegységrendszer mechanikai alapegységei: a méter (m), a másodperc (s) és a kilogramm (kg). Egy test mozgásának vizsgálatánál ismerni kell valamelyik pontjának – például súlypontjának – mozgását, továbbá az egész testnek a kiszemelt pont körül végzett mozgását. Előfordulhat, hogy az utóbbi mozgás hiányzik, vagy valamilyen szempontból elhanyagolható. Ilyenkor az egész test helyett egy tömegpontnak nevezett modellel dolgozhatunk. Vagyis kinematikai szempontból csupán a kiszemelt pont mozgását vesszük figyelembe, kinetikai szempontból pedig az egész test tömegét. Hogy mikor engedhető meg a valóság ilyen modellel történő helyettesítése, azt esetenként kell eldönteni.

Mivel a fent leírt egyszerű modell nagyon sok esetben használható, részletesebben foglalkozunk a tömegpont kinematikájával és kinetikájával.

ALAPFOGALMAK, MOZGÁSFÜGGVÉNY

A vonatkoztatási rendszer felvétele után beszélhetünk a tömegpont helyzetéről: koordinátáinak összességéről, s a tömegpont mozgásáról: helyzetének megváltoztatásáról.

A vonatkoztatási rendszer gyakran térbeli derékszögű koordináta rendszer.

A mozgás leírása azt jelenti, hogy megadjuk azokat a helyeket, ahol a tömegpont a szóba jövő időpontokban tartózkodik.

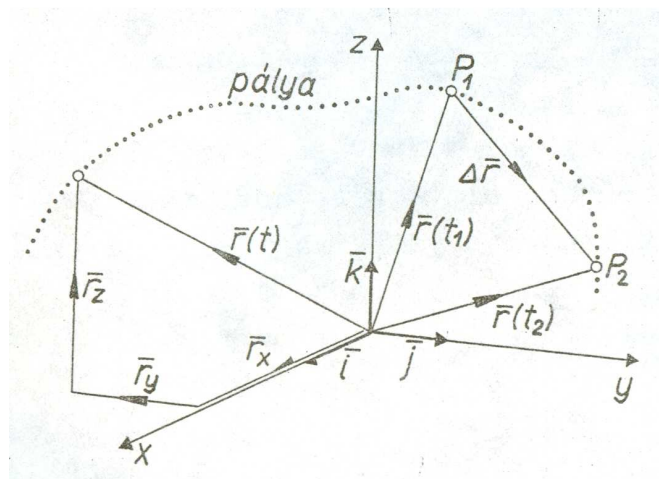
Az $x = x(t)$, $y = y(t)$, $z = z(t)$

Paraméteres egyenletrendszer minden t időpontban megadja tömegpont helyzetét.

Tömörebb jelölésmódot alkalmazva azt is mondhatjuk, hogy a mozgást az

$$\vec{r} = \vec{r}(t) \quad (m)$$

Vektor-skalár függvény írja le. Ez a függvény a t paraméter minden szóba jövő értékéhez egy olyan vektort rendel, melynek kezdőpontja a koordináta rendszer kezdőpontja, végpontja a mozgó pont (123. ábra). Az $\vec{r}(t)$ vektor a tömegpont helyvektora. A helyvektorok végpontjának összessége a mozgó pont által leírt pálya. Az



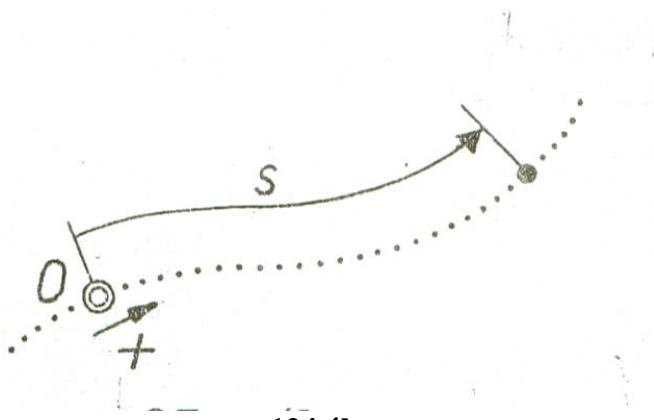
123.ábra

$\vec{r} = \vec{r}(t)$ függvény neve: mozgásfüggvény. Ez a függvény tapasztalatunk szerint egyértékű és folytonos.

A helyvektor felbontható a koordináta tengelyekkel párhuzamos összetevőkre:

$$\vec{r} = \vec{r}_x + \vec{r}_y + \vec{r}_z = x\vec{i} + y\vec{j} + z\vec{k},$$

ahol az $x = x(t)$, $y = y(t)$, $z = z(t)$ komponensek az idő függvényei, \vec{i} , \vec{j} , \vec{k} a vonatkoztatási rendszer alapvektorai. A tömegpont $\Delta t = t_2 - t_1$ intervallumban történő elmozdulása a $\Delta\vec{r} = \vec{r}(t_2) - \vec{r}(t_1)$ vektor. Ha a tömegpont valamilyen adott görbén mozog, akkor a mozgás leírása a következőképpen történhet: a pályagörbén megadunk egy irányítást (ezen azt értjük, hogy megadunk egy haladási irányt) és kijelölünk egy 0 kezdőpontot. Ezután a tömegpont helyzetét minden pillanatban meghatározza egyetlen adat, az 0-tól a tömegpontig mért előjeles ívhossz (124. ábra). Az s előjeles ívhossz neve: ívkoordináta. Most tehát a mozgást a pálya befutásának törvénye, az $s = s(t)$ (m) függvény írja le.



124.ábra

Egy derékszögű koordináta rendszer valamelyik tengelyén mozgó tömegpont esetén ívkoordinátául a tömegpont megfelelő koordinátáját választjuk.

Ha a tömegpont t_1 , t_2 időközben egy pályaszakasz minden pontján

csak egyszer halad át, akkor az adott időközben megtett út a pályaszakasz hossza.

A térben mozgó tömegpont egy síkra vagy egy egyenesre vonatkozó vetületének mozgását az eredeti mozgás vetületi mozgásának nevezzük. Legyen P_{xy} a P pont vetülete az x, y síkon. Ekkor P_{xy} pályája a P pont pályájának vetülete (125. ábra). P-nek az x tengelyre vonatkozó vetülete P_x . Ha P mozgástörvénye

$$X=x(t), \quad y=y(t), \quad z=z(t),$$

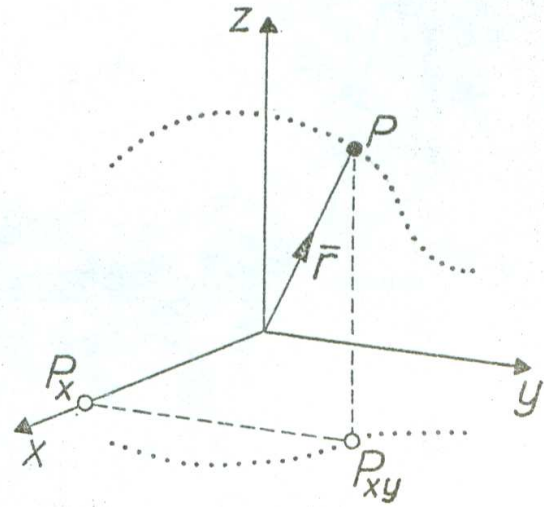
akkor P_x mozgástörvénye

$$x=x(t), \quad y=0, \quad z=0.$$

Hasonló a helyzet az y, z tengelyre vonatkozó vetületi mozgásoknál is. A vetületi pontok helyvektorai \bar{r}_x , \bar{r}_y , \bar{r}_z -vel jelölve írhatjuk:

$$\bar{r} = \bar{r}_x + \bar{r}_y + \bar{r}_z.$$

Ezért a P mozgását a három vetületi mozgás eredő mozgásának is mondják. P_x , P_y , P_z mozgása az összetevő-mozgás P mozgását meghatározza két koordináta síkon megadott vetületi mozgás (ezek nem függetlenek egymástól) vagy egy koordináta síkon és egy, a síkra merőleges tengelyen megadott vetületi mozgás.

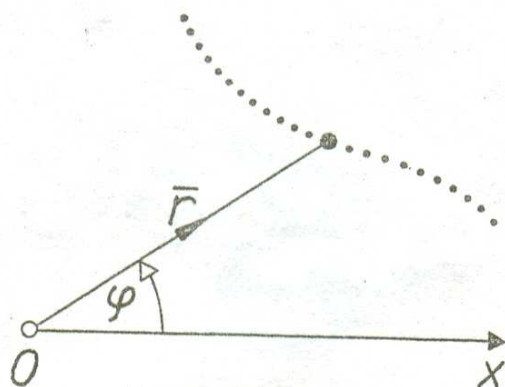


125.ábra

POLÁRKOORDINÁTA-RENDSZER ALKALMAZÁSA

Síkbeli mozgás esetén olykor előnyös a mozgást polárkoordináta rendszerben vizsgálni.

A tömegpont helyzetét – vagyis az \bar{r} helyvektort – jellemezhetjük egy 0 kezdőpontú, x tengelyű polárkoordináta rendszerben (126. ábra). A két koordináta a következő: $r = |\bar{r}|$, vagyis a pontnak a koordináta rendszer kezdőpontjától mért távolsága, φ , vagyis a helyvektornak polártengellyel bezárt (irányított) szöge: E koordináták persze az idő függvényei, más szóval a pont mozgását az



126.ábra

$$r = r(t), \quad \varphi = \varphi(t)$$

paraméteres egyenletrendszerrel adjuk meg.

22. Példa

Írjuk le a fűrészkeret mozgását! A keret mozgását a 127. ábrán látható ún. forgattyús mechanizmus végzi. Az r hosszúságú forgattyúkar egyenletesen forog, az időegység alatt söpört szög ω . Az r, l távolságok ismertek.

Megoldás.

Jellemezzük a keret helyzetét az s ívkoordinátával!

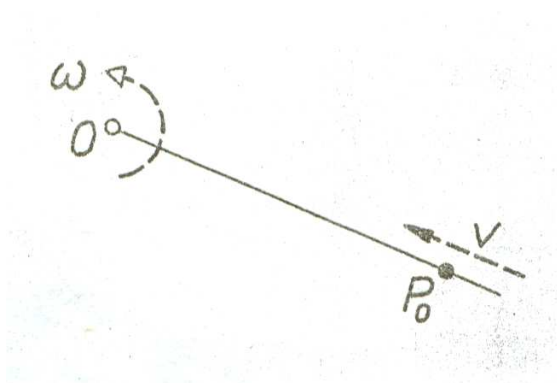
Tegyük fel, hogy a forgattyúkar függőleges helyzetből indult el. t idő alatt a forgattyúkar által söpört szög ωt .

Az ábra derékszögű háromszögeiből:

$$\underline{s = r \cos \omega t + \sqrt{l^2 - r^2 \sin^2 \omega t}, \quad s_{\max} = r + l, \quad s_{\min} = l - r.}$$

23. Példa

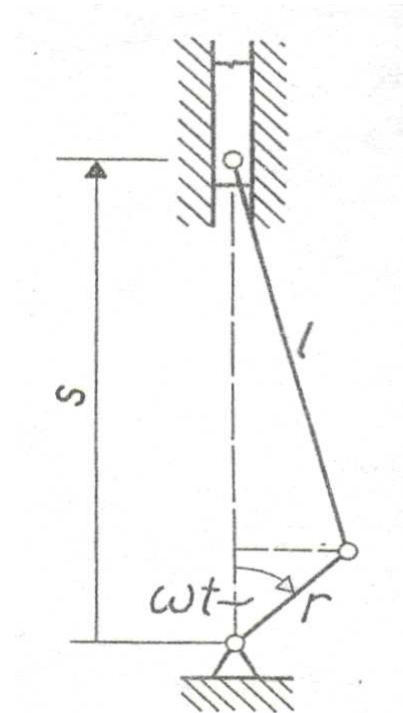
Egy O kezdőpontú félegyenes egyenletesen forog O körül (az egységnyi idő alatt söpört szög ω), miközben egy egyenletesen mozgó pont halad rajta,



128.ábra

P_0 -ből kiindulva O felé. Az egyenletesen mozgó pont egységnyi idő alatt v méter utat tesz meg (128. ábra).

Vizsgáljuk meg a mozgó pont pályáját a papír síkjában, ha $\overline{OP_0} = R_0$.



127.ábra

Megoldás.

Vizsgáljuk meg a pályát a félegyenes kezdőhelyzetével egybeeső polárkoordináta rendszerben. t idő múlva a polárkoordináták a következők:

$$\underline{r = R_0 - vt} \quad \underline{\varphi = \omega t.}$$

Ez az archimedeszi spirális (129. ábra) paraméteres egyenlete. A paramétert kiküszöbölve

$$r = R_0 - v \frac{\varphi}{\omega}.$$

A mozgó pont $T = \frac{R_0}{v}$ idő múlva jut 0-ba.

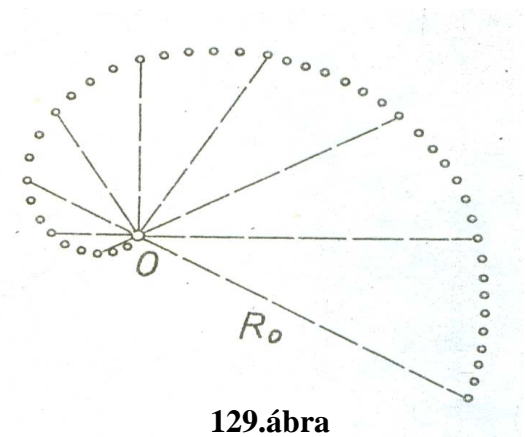
3.2. Sebesség, gyorsulás

ELŐKÉSZÍTÉS

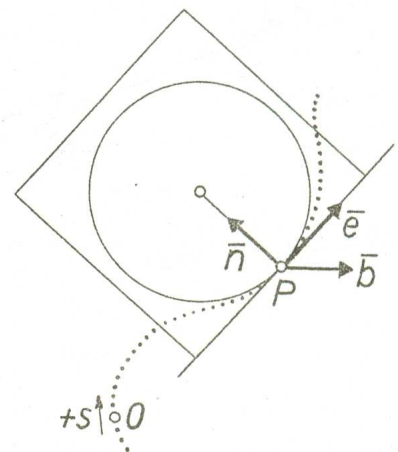
Az alábbiakban felsoroljuk a térgörbék elméletének néhány olyan alapvető fogalmát, melyekre a későbbiekben szükségünk lesz.

- Térgörbe érintője: a térgörbe P pontbeli érintője a görbe P és Q pontjain átmenő egyenes határhelyzete, midőn $Q \rightarrow P$.
- Térgörbe simulósíkja: a térgörbe P pontbeli simulósíkja a görbe három pontján átmenő sík határhelyzete, midőn a három pont tart P-hez.
- Térgörbe simulóköre: a térgörbe P pontbeli simulóköre a görbe három pontján átmenő kör határhelyzete, midőn a három pont tart P ponthoz. A simulókör síkja azonos a simulósíkéval.

Ha a térgörbének irányítást adunk, beszélhetünk valamely ponthoz tartozó pozitív irányú \bar{e} érintő egységvektorról (130. ábra). A P pontból a simulókör középpontja felé irányuló az \bar{n} főnormális



129.ábra



130.ábra

egységvektor. Az előbbi kettőre merőleges a $\bar{b} = \bar{e}_x \bar{n}$ binormális egységvektor.

Az $\bar{y} = \bar{y}(x)$ vektor-skalár függvény deriváltja a $\frac{d\bar{y}}{dx} = \lim_{\Delta x \rightarrow 0} \frac{\bar{y}(x + \Delta x) - \bar{y}(x)}{\Delta x}$ vektor, melynek állása azonos az $\bar{y}(x)$ térgörbe megfelelő pontbeli érintőjének állásával. Ha az x paraméter az s előjeles ívhossz vagy ívkoordináta, akkor $\frac{d\bar{r}}{ds} = \bar{e}$, a pozitív irányú érintő egységvektor. A vektor-skalár függvények differenciálási szabályai hasonlóak a skalárfüggvények deriválási szabályaihoz.

A SEBESSÉG ÉS GYORSULÁS DEFINÍCIÓJA

Mozogjon a tömegpont az ismert pályán az $s=s(t)$ törvény szerint. Valamely t , $t+\Delta t$ időközben a mozgásról bizonyos mértékű felvilágosítást nyújt a

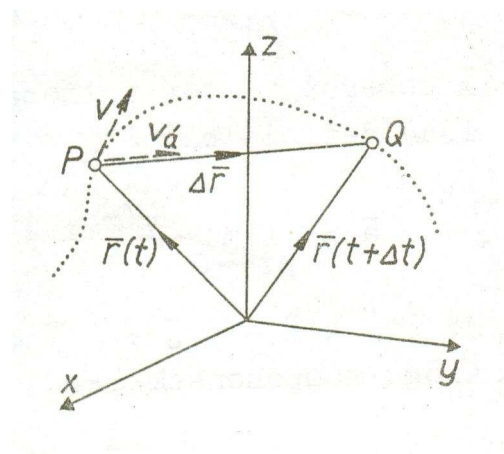
$$v_{\text{átl}} = \frac{\Delta s}{\Delta t} = \frac{s(t + \Delta t) - s(t)}{\Delta t}$$

Hányados: a mozgásnak a Δt időközre számított átlagos pályasebessége. Ez a skaláris mennyiség t -nek és Δt -nek is függvénye, s annál pontosabban jellemzi a mozgást a t időpontban, minél kisebb Δt . A mozgás t -beli pontos jellemzője az átlagsebességnek $\Delta t \rightarrow 0$ -ra adódó határértéke – a már csak t -től függő – pályasebesség:

$$v = \lim_{\Delta t \rightarrow 0} v_{\text{átl}} = \lim_{\Delta t \rightarrow 0} \frac{s(t + \Delta t) - s(t)}{\Delta t} = \frac{ds}{dt} = \dot{s}$$

(Az idő szerinti deriválást a deriválandó mennyiség jele fölé tett ponttal jelöljük).

Vagyis a pályasebesség az ívkoordináta idő szerinti első deriváltja. Hasonlóan járhatunk el akkor is, ha a mozgás $\bar{r} = \bar{r}(t)$ alakban adott. Ha a mozgó pont t pillanatban a pálya P helyén van (131. ábra), $t+\Delta t$ időpontban pedig q -ban,



131.ábra

akkor a Δt időközben végbement mozgás átlagsebessége:

$$\bar{v}_{\text{átl}} = \frac{\Delta \bar{r}}{\Delta t} = \frac{\bar{r}(t + \Delta t) - \bar{r}(t)}{\Delta t}.$$

Ez a vektor a $\Delta \bar{r}$ vektorral egyállású és t -n kívül Δt -nek is függvénye. A mozgás pontos jellemzésére ismét az átlagsebesség vektor $\Delta t \rightarrow 0$ -ra adódó határértéke, a sebesség alkalmas:

$$\bar{v} = \lim_{\Delta t \rightarrow 0} \bar{v}_{\text{átl}} = \lim_{\Delta t \rightarrow 0} \frac{\bar{r}(t + \Delta t) - \bar{r}(t)}{\Delta t} = \frac{d\bar{r}}{dt} = \dot{\bar{r}} \quad (\text{m} \cdot \text{s}^{-1}).$$

A sebességvektor tehát a helyvektor idő szerinti első deriváltja. Ez olyan vektor, melynek koordinátái a helyvektor koordinátáinak idő szerinti deriváltjai. A továbbiakban feltesszük, hogy az $s=s(t)$ és az $\bar{r} = \bar{r}(t)$ függvények az idő szerint legalább kétszer deriválhatók. Ez a vektor csak t -nek függvénye, állása megegyezik a P -hez tartozó érintőével, iránya pedig a P -beli mozgásiránnyal. A sebességvektort a P ponthoz kötjük.

Az $\bar{r} = x\bar{i} + y\bar{j} + z\bar{k}$ mozgásfüggvényű pont sebessége a definíció értelmében

$$\bar{v} = \dot{x}\bar{i} + \dot{y}\bar{j} + \dot{z}\bar{k},$$

ahol az $\dot{x} = \dot{x}(t)$, $\dot{y} = \dot{y}(t)$, $\dot{z} = \dot{z}(t)$ skaláris függvények a sebességkomponensek.

A sebességvektor a helyvektor változásának jellemzője.

A pályasebesség változást egy adott pillanatban a pályasebesség idő szerinti deriváltja mutatja. Ez a pályagyorsulás:

$$a_e = \lim_{\Delta t \rightarrow 0} \frac{v(t + \Delta t) - v(t)}{\Delta t} = \frac{dv}{dt} = \dot{v} = \ddot{s} \quad (\text{m} \cdot \text{s}^{-2}).$$

A sebességvektor változásának jellemzője, a gyorsulás, hasonlóan definiálható:

$$\bar{a} = \lim_{\Delta t \rightarrow 0} \frac{\bar{v}(t + \Delta t) - \bar{v}(t)}{\Delta t} = \frac{d\bar{v}}{dt} = \dot{\bar{v}} = \ddot{\bar{r}} \quad (\text{m} \cdot \text{s}^{-2}).$$

Az $\bar{r} = x\bar{i} + y\bar{j} + z\bar{k}$ mozgásfüggvényű pont gyorsulása derékszögű komponensekkel:

$$\bar{a} = \ddot{x}\bar{i} + \ddot{y}\bar{j} + \ddot{z}\bar{k}.$$

A gyorsulásvektort a mozgó ponthoz kötjük.

Felbonthatjuk a sebességvektort és a gyorsulásvektort a pályagörbe természetes koordináta-rendszerében is.

Megmutatható, hogy ha $\bar{e}, \bar{n}, \bar{b}$ a pályagörbe természetes koordináta rendszerének egységvektorai, R a pályagörbe simulókörének sugara, a mozgástörvény $\bar{r} = \bar{r}(s)$, $s = s(t)$, akkor:

$$\bar{v} = v\bar{e} = \dot{s}\bar{e},$$

$$\bar{a} = \bar{a}_e + \bar{a}_n = \frac{dv}{dt}\bar{e} + \frac{v^2 R}{R}\bar{n} = \dot{v}\bar{e} + \frac{v^2}{R}\bar{n}.$$

Az $\bar{a}_e = \dot{v}\bar{e}$ érintőleges összetevő neve:

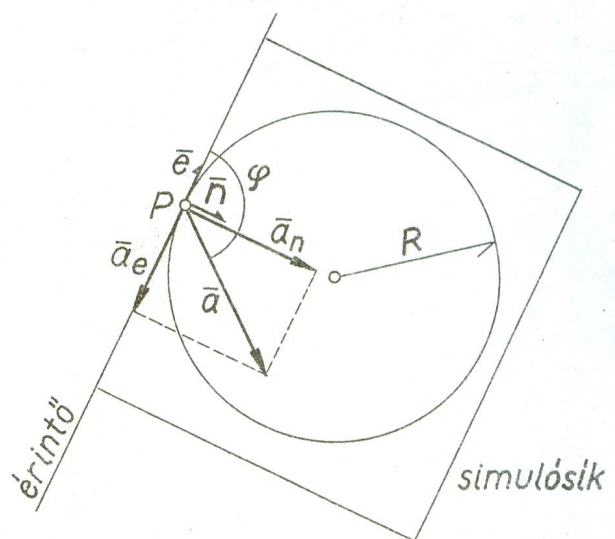
pályamenti vagy tangenciális gyorsulás.

Az $\bar{a}_n = \frac{v^2}{R}\bar{n}$ összetevőé: centripetális vagy

normális gyorsulás. A skaláris \dot{v} és $\frac{v^2}{R}$ mennyiségek a gyorsulás pályamenti, ill. centripetális komponensei.

Amint a fentiekből kitűnik, általános esetben a gyorsulásvektor a pályagörbe P-beli simulósíkjában fekszik, s a sebességvektorral $0 \leq \varphi \leq \pi$ (132. ábra) szöget zár be.

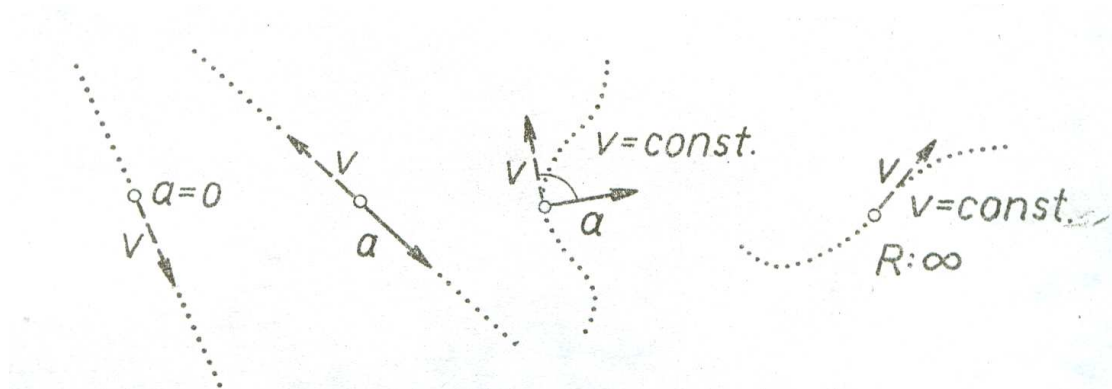
Másképpen: a gyorsulásvektor az érintő által kettéosztott simulósíknak abban a felében van, amelyben a görbületi középpont. A mozgás gyorsuló, ha a vizsgált pillanatban létezik gyorsulásvektor, vagyis ha a két gyorsuláskomponens közül legalább az egyik nem zérus. Az a_e komponens csak a pályasebesség változásától függ, a pálya alakjától független. \bar{a}_e iránya megegyező vagy ellenkező a sebesség irányával az a_e előjelének megfelelően. Ha a pályasebesség állandó, $a_e=0$. A nem negatív a_n komponens a pályasebesség nagyságától és a



132.ábra

pálya alakjától, pontosabban annak $\frac{1}{R}$ görbületétől függ. Ha a pálya egyenes, akkor – véges sebesség és végtelen görbületi sugár folytán – $a_n=0$.

Az alábbi ábrásor néhány speciális esetet szemléltet (133. ábra):



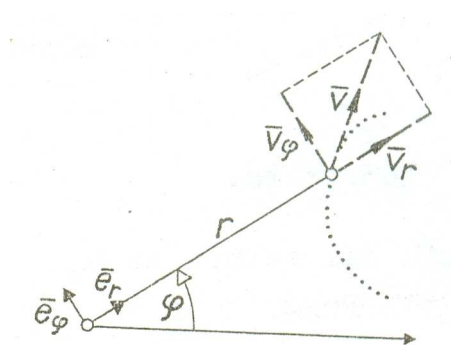
133.ábra

A hétköznapi nyelvhasználat „gyorsuló” mozgásról beszél, ha $a_e > 0$ és „lassuló”-ról, ha $a_e < 0$.

Görbe pályán mozgó pont valójában mindig gyorsuló mozgást végez, mert legalább a_n létezik. Inflexiós pontban azonban $R = \infty$ miatt egy pillanatra eltűnhet a gyorsulás.

Olykor hasznos lehet az a tétel, mely szerint a tömegpont vetületi mozgásának sebessége, gyorsulása az eredeti mozgás sebességének, ill. gyorsulásának vetülete.

A SEBESSÉGVEKTOR POLÁRKOORDINÁTA RENDSZERBEN



134.ábra

Ha a mozgást polárkoordináta rendszerben vizsgáljuk, a sebességvektort egy helyvektorral egyirányú \bar{e}_r és egy arra merőleges \bar{e}_φ egységvektor lineáris kombinációjaként írhatjuk fel (134. ábra). Mielőtt ezt a felbontást megadnánk, rámutatunk arra, hogy a φ polárkoordináta időbeli változása éppen úgy jellemezhető a $\varphi(t)$ függvény idő szerinti deriváltjával, miként az ívkoordináta változása $\dot{s}(t)$ -vel. Vagyis beszélhetünk egy szögkoordináta sebességéről is. A $\varphi(t)$ függvény $\dot{\varphi}(t)$ deriváltja az \bar{r} vektor skaláris szögsebessége. Ezek

után a polárkoordináta rendszerben vizsgált mozgás sebességvektorának felbontása a következő:

$$\bar{v} = \bar{v}_r + \bar{v}_\phi = \dot{r}\bar{e}_r + r\dot{\phi}\bar{e}_\phi.$$

24. Példa

Számítsuk ki a 22. Példában szereplő fűrészkeret pályasebességét.

Megoldás.

Mint láttuk, az ívkoordináta $s = r \cos \omega t + \sqrt{l^2 - r^2 \sin^2 \omega t}$ volt.

$$\text{A pályasebesség: } v = \dot{s} = -r\omega \sin \omega t + \frac{-2r^2 \sin \omega t \cdot \omega \cos \omega t}{2\sqrt{l^2 - r^2 \sin^2 \omega t}},$$

$$\underline{\underline{\dot{s} = -r\omega \sin \omega t - \frac{r^2 \omega \sin 2\omega t}{2\sqrt{l^2 - r^2 \sin^2 \omega t}}}}$$

25. Példa

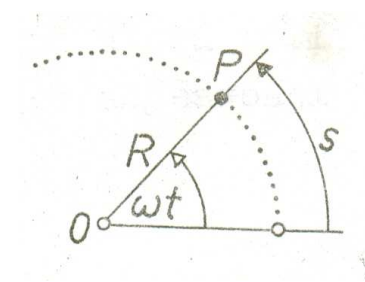
Vizsgáljuk meg az egyenletes körmozgás kinematikai viszonyait, a mozgások leírására tanult különböző módszereket alkalmazva! Legyen a pályakör sugara R , a mozgó ponthoz tartozó sugár szögsebessége ω . Ívkoordináta alkalmazásával (135. ábra).

$$\underline{\underline{s = R\omega t}}, \quad \underline{\underline{v = \dot{s} = R\omega}}, \quad \underline{\underline{\ddot{s} = 0}}.$$

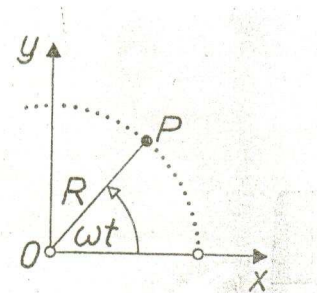
Derékszögű koordinátákkal (136. ábra):

$$\bar{r} = \begin{cases} R \cos \omega t \\ R \sin \omega t \end{cases} \quad \bar{v} = \dot{\bar{r}} = \begin{cases} -R\omega \sin \omega t \\ R\omega \cos \omega t \end{cases}$$

$$\bar{a} = \ddot{\bar{r}} = \begin{cases} -R\omega^2 \cos \omega t \\ -R\omega^2 \sin \omega t \end{cases}$$



135.ábra



136.ábra

A sebesség- és gyorsulásvektor elhelyezkedésének tisztázása végett számítsuk ki a természetes koordináta rendszerre vonatkozó komponenseket és ábrázoljuk a \vec{v} , \vec{a} vektorokat (137. ábra)!

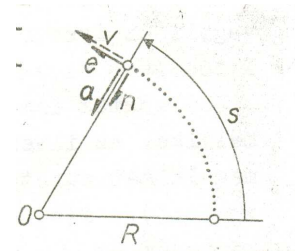
Mint láttuk,

$$v = R\omega, \quad a_e = \ddot{s} = 0, \quad a_n = \frac{v^2}{R} = R\omega^2, \quad \text{tehát} \quad \vec{a} \equiv \vec{a}_n.$$

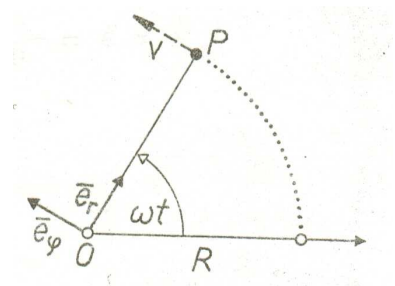
Végül polárkoordináta rendszerben (138. ábra):

$$\vec{r} \begin{cases} R \\ \omega t \end{cases}, \quad \vec{v} \begin{cases} 0 \\ R\omega \end{cases},$$

a gyorsulásvektorral nem foglalkozunk.



137.ábra



138.ábra

3.3. Kinematikai alapfeladatok.

Ismert pálya esetén az $s=s(t)$ függvény a mozgást teljesen meghatározza. Ebben az esetben differenciálásokkal állíthatjuk elő a pályasebességet és a pályagyorsulást.

Előfordulhat azonban, hogy a mozgásjellemzők (s, \dot{s}, \ddot{s}) nem az idő, hanem egymás függvényében ismeretesek. A mozgás összes lehetséges megadási módjait az alábbi táblázatban szemlélteti:

	t	s	\dot{s}	\ddot{s}
t	–	$t(s)$	$t(\dot{s})$	$t(\ddot{s})$
s	$s(t)$	–	$[s(\dot{s})]$	$s(\ddot{s})$
\dot{s}	$\dot{s}(t)$	$\dot{s}(s)$	–	$\dot{s}(\ddot{s})$
\ddot{s}	$\ddot{s}(t)$	$\ddot{s}(s)$	$\ddot{s}(\dot{s})$	–

A táblázat második rovatában és harmadik oszlopában álló függvény jelentése például: a mozgás $s=s(\dot{s})$ alakban adott, vagyis az ívkoordináta a pályasebesség függvényeként ismeretes.

A táblázat tizenkét függvényének bármelyikéből – esetleg további adatok ismeretében – előállítható a többi tizenegy bármelyike. Az ilyen kinematikai alapeladatok közül néhánynak a megoldását mutatjuk be.

Adott: $v = \dot{s}(t)$ és az összetartozó t_0, s_0 értékpár, keressük az $s=s(t)$ függvényt.

Megoldás:

$$v = \dot{s} = \frac{ds}{dt}, \quad ds = \dot{s} dt, \quad \int_{s_0}^s ds = \int_{t_0}^t \dot{s}(t) dt,$$

$$\underline{\underline{s = s_0 + \int_{t_0}^t \dot{s}(t) dt.}}$$

Ha a pályagyorsulás ismert az idő függvényében, hasonlóan, integrálással kapjuk a pályasebességet. Ekkor ismerni kell összetartozó idő- és pályasebesség-adatokat. További kinematikai feladat:

Adott: $\ddot{s} = \ddot{s}(s), s_0, v_0$

Keressük a $v(s)$ függvényt.

Megoldás:

$$\underline{\underline{v = \sqrt{v_0^2 + 2 \int_{s_0}^s \ddot{s}(s) ds}}} \quad \text{vagy} \quad \underline{\underline{v = -\sqrt{v_0^2 + 2 \int_{s_0}^s \ddot{s}(s) ds}}}$$

Az $s=s(t), v = \dot{s} = \dot{s}(t), a_e = \ddot{s} = \ddot{s}(t)$ függvények grafikonjai az ún. kinematikai diagramok (foronomia görbék). Nem tévesztendő össze a pályagörbével!

Természetesen ezek a grafikonok meghatározott kapcsolatban állnak egymással, hiszen azok a függvények, melyeket ábrázolnak, egymásból differenciálással, ill. Integrálással nyerhetők. A valamely zárt intervallumban folytonos egyváltozós $f(x)$ függvény és $F(x)$ primitív függvénye

között fennálló $\int_a^b f(x) dx = F(b) - F(a)$ összefüggés, valamint az s, \dot{s}, \ddot{s} közötti kapcsolat

alapján megállapítjuk, hogy: Adott t_1, t_2 időközben az ívkoordináta megváltozása egyenlő a v - t ábra alatti síkidom előjeles területével.

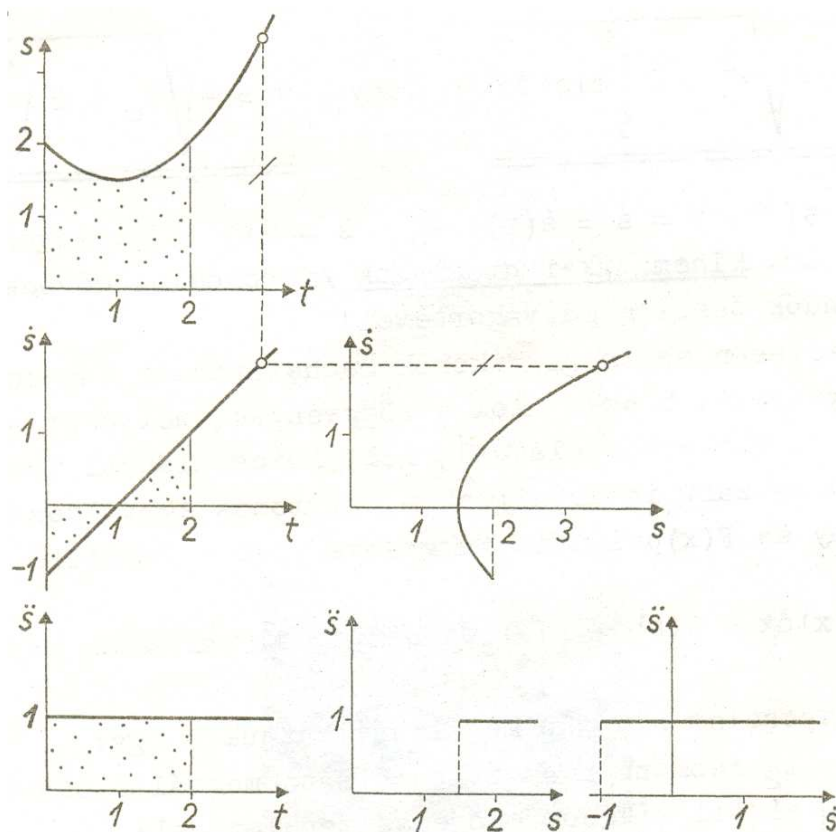
$$\int_{t_1}^{t_2} \dot{s}(t) dt = s(t_2) - s(t_1).$$

Adott t_1, t_2 időközben a pályasebesség megváltozása egyenlő az a_e -t ábra alatti síkidom előjeles területével:

$$\int_{t_1}^{t_2} \ddot{s}(t) dt = \dot{s}(t_2) - \dot{s}(t_1).$$

Legyen például $s = 2 - t + \frac{1}{2}t^2$, $\dot{s} = -1 + t$, $\ddot{s} = 1$, $t_1 = 0$, $t_2 = 2$. Számítsuk ki az ívkoordináta és a pályasebesség megváltozását a megadott időközben:

$$\Delta s = s(2) - s(0) = 2 - 2 + \frac{1}{2} \cdot 2^2 - 2 = 0, \quad \Delta v = \dot{s}(2) - \dot{s}(0) = -1 + 2 - (-1) = 2.$$



139. ábra

A kinematikai diagramokról ugyanezt az eredményt olvashatjuk le (139. ábra)

Az $s(t)$, $\dot{s}(t)$, $\ddot{s}(t)$ kinematikai diagramokból előállíthatók az $\dot{s}(s)$, $\ddot{s}(s)$, $\ddot{s}(\dot{s})$ kinematikai diagramok is. Ilyen szerkesztés is nyomon követhető a 110. ábrán: $\dot{s}(s)$ diagram. Ha a kinematikai diagramok közül valamelyik szerkesztés vagy közvetlen mérés alapján adott, akkor a hiányzó diagramok előállítása grafikus úton történhet. Ilyenkor grafikus differenciálásai, ill. integrálási ajánlással érünk célt. E módszereket illetően a felsorolt irodalomra utalunk.

26. Példa

Egy jármű lehetséges legnagyobb gyorsulása, (ill. lassulása) a_{\max} , legnagyobb pályasebessége v_{\max} .

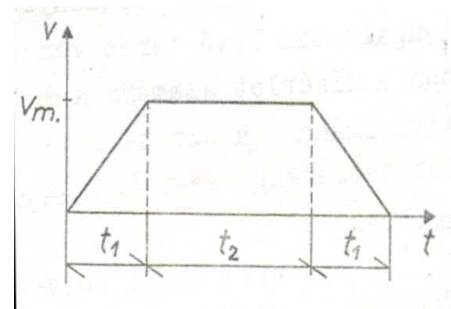
Határozzuk meg azt a legkisebb időt, mely alatt a jármű egy d hosszúságú pályaszakaszt befuthat.

Megoldás.

Vázoljuk fel a sebességábrát (140. ábra)! A legkisebb menetidőre törekszünk, tehát a lehetséges legnagyobb gyorsulással érjük el v_{\max} -ot. A gyorsításhoz szükséges idő t_1 . Maximális sebességgel halad a jármű t_2 ideig, t_1 idő alatt lassul le ismét zérus sebességre. A teljes menetidő:

$$T = 2t_1 + t_2.$$

Az ábra geometriájából, ill. a sebességábra tulajdonságaiból következik, hogy



140. ábra

$$t_1 = \frac{v_{\max}}{a_{\max}}, \quad d = v_{\max}(t_1 + t_2), \quad t_2 = \frac{d}{v_{\max}} - t_1 = \frac{d}{v_{\max}} - \frac{v_{\max}}{a_{\max}}$$

$$T = \frac{d}{v_{\max}} + \frac{v_{\max}}{a_{\max}}$$

3.4. A kinetika axiómái és a tömegpont mozgásegyenlete

NEWTON-AXIÓMÁK

A kinetika főfeladata a testek mozgásának leírása a testekre ható erők ismeretében.

Ezt a feladatot néhány alapfeltevés – a NEWTON-féle axiómák – segítségével oldjuk meg. Ezek a tömegpontra érvényes kijelentések közvetlenül nem bizonyítottak, helyességükre a belőlük következő megállapítások s a tapasztalat egyezéséből következtetünk.

Első axióma: Minden test (tömegpont) megmarad a nyugalomnak vagy az egyenes vonalú egyenletes mozgásnak az állapotában míg más testek hatásai állapotát meg nem változtatják.

A testek azon tulajdonságát, hogy külső hatás hiányában sebességállapotukat változatlanul megtartják, tehetetlenségnek, az axiómát pedig tehetetlenség törvényének is nevezik. A tehetetlenség törvénye közvetlenül nem igazolható, mert a testeket más testek hatása alól teljesen kivonni nem tudjuk. A törvény egyértelműsége végett meg kell állapítani, hogy a nyugalmi helyzetet mihez viszonyítsuk. NEWTON az axiómát az abszolút nyugalomban lévő térre vonatkoztatta. Ez utóbbi fogalom azonban a kísérlete számára nem hasznosítható. A törvény lényeges tartalmának ma ezt tekintjük, hogy van olyan rendszer – az ún. tehetetlenségi vagy inercia-rendszer melyben érvényes az első axióma.

A kinetika egyéb törvényeit is ilyen rendszerre vonatkoztatjuk. Az eddigi tapasztalatok szerint – az asztronómiában használt – bizonyos állócsillagokhoz kötött koordináta-rendszer, inercia-rendszer. A műszaki mechanikában a Földhöz kötött koordináta rendszer is sok esetben inercia-rendszernek tekinthető.

Azt, amit az első axiómában „más testek hatása”-ként említettünk, vagyis az erőt, a második axióma definiálja:

$$\frac{d(m\bar{v})}{dt} = \bar{F}.$$

Itt \bar{v} a tömegpont sebessége, az m arányossági tényező egy pozitív, a test tehetetlenségének mértékét kifejező fizikai mennyiség, a test tömege (pontosabban tehetetlen tömege). A tömeg a testnek egyik legfontosabb jellemzője, mely (nem atomi méretű és nem nagyon nagy sebességű testek esetén (állandó az időtől, a helytől, a test mozgásától és a reá ható erőktől független). Ilyen esetben a második axióma

$$m \frac{d\bar{v}}{dt} = m\bar{a} = \bar{F}$$

Alakban is felírható.

Az az erő, melyet a Föld valamely testre kifejt, a test súlya (súlyon gyakran csak az említett erő nagyságát értik). Egy adott test súlya – tömegével ellentétben – a tér különböző helyein más és más. Tapasztalatunk szerint a szabadon eső testnek gyorsulása a tér egy adott helyén minden testre ugyanaz (légüres térben).

Egy m tömegű test súlya olyan helyen, ahol a gyorsulás \bar{g} , a II. axióma értelmében $\bar{G} = m\bar{g}$, ill. $|\bar{G}| = G$ és $|\bar{g}| = g$ jelöléssel $G = mg$. Az erő nagyságának mértékegysége a newton (N), az az erő, mely az egységnyi gyorsulással mozgó egységnyi tömegre hat:

$$1 \text{ N} = 1 \text{ kg} \cdot \text{m} \cdot \text{s}^{-2}.$$

A régebben használatos kilopond vagy kilogrammsúly és a newton közötti kapcsolat: $1 \text{ kp} \approx 9,81 \text{ N}$.

Harmadik axióma (a kölcsönhatás törvénye, hogy az akció reakció elve).

Ha egy anyagi pont vagy általában egy test egy másik testre hatást gyakorol, akkor a másik test is hatást fejt ki az elsőre s e két erő egyenlő nagy és ellentétes irányú. Tehát ha az A test által a B testre kifejtett erő \bar{F}_{AB} a B test által az A-ra gyakorolt hatás \bar{F}_{BA} , akkor

$$\bar{F}_{AB} = -\bar{F}_{BA}.$$

Negyedik axióma (az erőhatások függetlenségének elve): Ha ugyanarra a tömegpontra egyidejűleg több erő hat, ezek együttes hatása egyenértékű az erők vektorális összegzéssel

nyert eredőjének hatásával. Ha az m tömegű anyagi pontra ható erők $\vec{F}_1, \vec{F}_2, \dots, \vec{F}_n$ s az általuk létrehozott gyorsulások külön $\vec{a}_1, \vec{a}_2, \dots, \vec{a}_n$, akkor

$$\vec{F}_1 + \vec{F}_2 + \dots + \vec{F}_n = m(\vec{a}_1 + \vec{a}_2 + \dots + \vec{a}_n).$$

A KINETIKA ALAPEGYENLETE

A tömegpont kinematikája és kinetikája között kapcsolatot teremtő $\vec{F} = m\vec{a}$ alaptörvényt a dinamika alapegyenletének is nevezik. Ha az erőt és gyorsulást derékszögű koordináta rendszerben bontjuk fel, az alapegyenlet a következő alakot ölti:

$$F_x = m\ddot{x}, \quad F_y = m\ddot{y}, \quad F_z = m\ddot{z}.$$

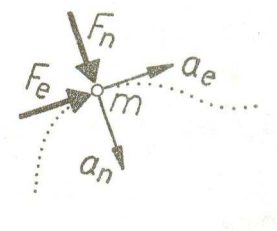
F_x, F_y, F_z az erőkomponensek, $\ddot{x}, \ddot{y}, \ddot{z}$ a gyorsuláskomponensek. A felbontás történhet a tömegpont pályájának természetes koordináta rendszerében is.

Mint láttuk, a gyorsulásvektor felírható érintő irányú \vec{a}_e és normális irányú \vec{a}_n összetevők összegeként. A II. axióma értelmében mondhatjuk, hogy a tömegpontra

$$\vec{F}_e = m\vec{a}_e, \quad \text{ill.} \quad \vec{F}_n = m\vec{a}_n$$

erő hat. Az F_e erő neve: érintőleges vagy tangenciális erő. F_n neve: normális vagy centripetális erő (141. ábra). Felhívjuk a figyelmet arra az F_n centripetális erő – vagyis a centripetális gyorsulást előidéző erő – nem tévesztendő össze azzal az erővel, melyet a tömegpont gyakorol az F_n -t szolgáltató testre. Ez a reakcióerő a centripetális erő ellenereje.

A természetes koordináta rendszerben felbontott gyorsulásnak binormális irányú összetevője nincs, így $F_b=0$.



141.ábra

Ebben a koordináta rendszerben tehát az alapegyenlet így néz ki komponens alakban:

$$F_e = m \frac{dv}{dt} = m\dot{s}, \quad F_n = m \frac{v^2}{R} = m \frac{\dot{s}^2}{R}.$$

E két egyenlet közül az elsőből következik, hogy:

állandó pályasebesség – vagyis $\frac{dv}{dt} = 0$ esetén $F_c = 0$,

változó pályasebesség esetén $F_c \neq 0$.

A második egyenlet értelmében: állandó pályasebesség esetén $F_n \rightarrow \infty$, ha $R \rightarrow 0$, állandó görbületi sugár esetén $F_n \rightarrow \infty$, ha $v \rightarrow 0$.

Mozgó tömegpontra ható erő mindkét komponense csak abban az esetben zérus, ha v állandó és a görbületi sugár végtelen nagy. A mozgásegyenletek két feladattípus megoldására alkalmasak:

1. Ismert a tömegpont mozgása és keressük a mozgást előidéző erőket.

Rendszerint adott a pálya és a pályabefutásának törvénye.

Ilyenkor célszerű az alapegyenlet:

$$F_c = m \frac{dv}{dt}, \quad F_n = m \frac{v^2}{R} \text{ alakját alkalmazni.}$$

2. Ismertesse a tömegpontra ható $\vec{F} = \vec{F}(t, \vec{r}, \dot{\vec{r}})$ és keressük a létrejövő mozgást, vagyis azt az $\vec{r} = \vec{r}(t)$ függvényt, mely az $\vec{F} = m\ddot{\vec{r}}$ differenciál egyenletet kielégíti.

Ez a feladat típus nehezebb, és nem minden esetben oldható meg szigorúan. A megoldáshoz ismerni kell a t_0 időponthoz tartozó $\vec{r}_0, \dot{\vec{r}}_0$ kezdeti értékeket, összesen 6 állandót.

27. Példa

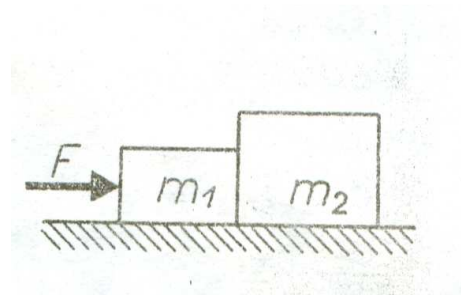
Adott a 142. ábrán látható, vízszintes síkon nyugvó, sima felületű hasábok m_1, m_2 tömege, valamint az F erő.

Meghatározandó az m_2 tömegű hasábra ható F' erő.

Megoldás.

Az alapegyenlet az m_2 tömegű hasábra:

$F' = m_2 a_2$, ahol a_2 a két hasáb közös pályagyorsulása.



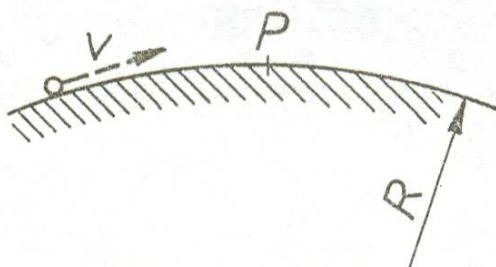
142.ábra

Ez az $F = (m_1 + m_2)a_2$ egyenletből:

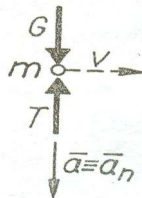
$$a_2 = \frac{F}{m_1 + m_2}, \text{ tehát a keresett erő: } F' = \frac{m_2}{m_1 + m_2} F.$$

28. Példa

G súlyú jármű állandó v pályasebességgel halad végig a vázolt pályaszakaszon (143. ábra). A pálya görbületi sugara a legfelső P pontban R . Mekkora erővel nyomja a jármű a pályát P-ben?



143. ábra



144. ábra

Megoldás.

A keresett erővel egyenlő nagy, de ellentétes T erőt gyakorol a talaj a járműre. A tömegpontra ható erőket, a sebességet és a gyorsulást – mely most azonos a centripetális gyorsulással – a 144. ábra szemlélteti.

Az alapegyenlet:

$$G - T = \frac{G}{g} \frac{v^2}{R}, \quad T = G \left(1 - \frac{v^2}{gR} \right),$$

ekkora erővel nyomja a jármű a talajt.

$v = \sqrt{gR}$ sebesség esetén a jármű kereke és a talaj közötti erőátadás megszűnik. Ha a pálya görbületi sugara azonos a Föld sugarával (kb. 6400 km), akkor az erőátadás

$v = \sqrt{9,81 \cdot 6400000} = 7923,6 \text{ m/s} \approx 8 \text{ km/s}$ sebességnél szűnik meg.

Körülbelül ekkora a Föld közelében keringő mesterséges holdak sebessége is.

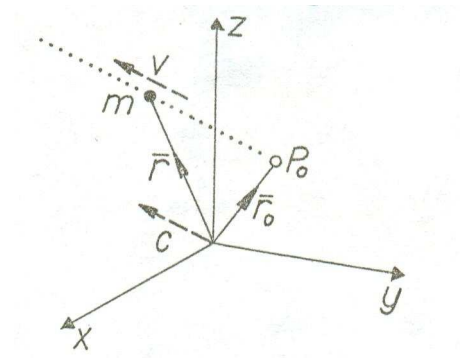
3.5. A tömegpont legfontosabb mozgástípusai

Az alábbiakban áttekintjük a tömegpontnak a műszaki gyakorlat szemszögéből a legfontosabb mozgástípusait.

A. Állandó sebességű mozgás

Mozgástörvénye: $\vec{r} = \vec{r}_0 + \vec{c}t$, \vec{r}_0, \vec{c} állandó vektorok, \vec{r} mértékegysége m,

\vec{c} -é $m \cdot s^{-1}$, $\vec{c} \neq 0$ (145. ábra).



145.ábra

A pálya: az \vec{r}_0 helyvektorú P_0 ponton átmenő és a \vec{c} vektorral párhuzamos egyenes (vagy annak része),

a sebesség: $\vec{v} = \dot{\vec{r}} = \vec{c}$,

a gyorsulás: $\vec{a} = \ddot{\vec{r}} = 0$,

a tömegpontra ható erő: $\vec{F} = 0$.

A tömegpont akkor és csakis akkor végez

ilyen mozgást, ha a rá ható erők eredője zérus.

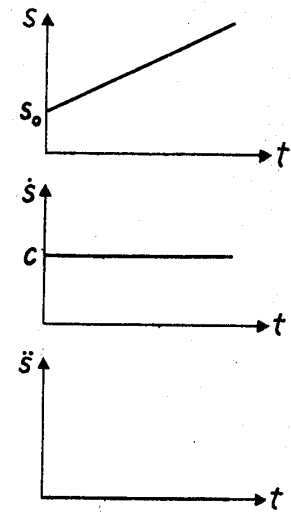
E mozgásfajtát egyenes vonalú egyenletes mozgásnak is nevezik. Könnyen belátható, hogy $|\vec{c}| = c$ jelöléssel a

pálya befutásának törvénye: $s = s_0 + ct$,

a pályasebesség: $v = \dot{s} = c$,

a pályagyorsulás: $a_e = \ddot{s} = 0$.

A foronómiai görbéket a 146.ábra szemlélteti.



146.ábra

B. Állandó gyorsulású mozgás

Mozgástörvénye:

$$\vec{r} = \vec{r}_0 + \vec{c}t + \frac{1}{2}\vec{a}t^2 \quad a \neq 0,$$

$\vec{r}_0(m)$, $\vec{c}(m \cdot s^{-1})$, $\vec{a}(m \cdot s^{-2})$ állandó vektorok.

A mozgás megállapításánál két esetet különböztetünk meg:

a) $\vec{c} \parallel \vec{a}$, ekkor a mozgást egyenes vonalú, egyenletesen gyorsuló mozgásnak nevezik.

A pálya: az \vec{r}_0 helyvektorú pontos átmenő,

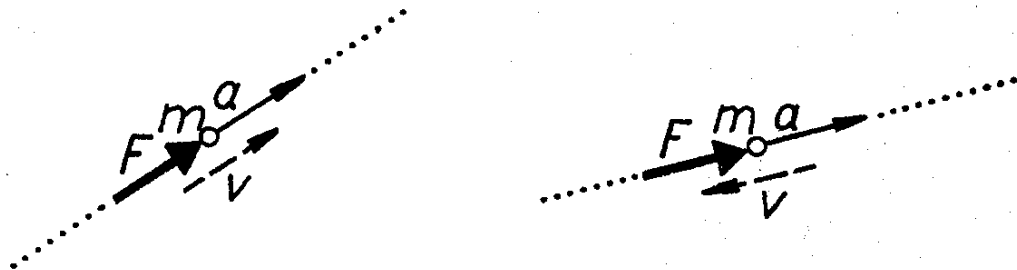
\bar{c} és \bar{a} vektorokkal párhuzamos egyenes.

A sebesség: $\bar{v} = \dot{\bar{r}} = \bar{c} + \bar{a}t$,

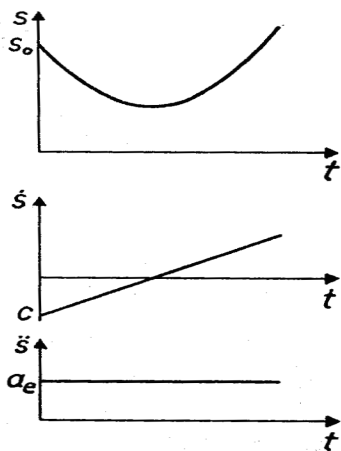
a gyorsulás: $\ddot{\bar{r}} = \bar{a}$,

a tömegpontra ható erő: $\bar{F} = m\bar{a}$.

Tehát a sebesség az időben lineárisan változik, a gyorsulás állandó. A II. axióma értelmében a tömegpontra állandó, a gyorsulással egyező irányba mutató vektorú erő hat. E mozgástípus kinematikai és kinetikai viszonyait a 147.ábra szemlélteti.



147.ábra



A pálya befutásának törvénye: $s = s_0 + ct + \frac{1}{2}a_e t^2$,

a pályasebesség: $v = \dot{s} = c + a_e t$,

a pályagyorsulás: $a_e = \dot{s}$.

Abban az esetben, midőn $s_0=0$, $c=0$, érvényesek a következő összefüggések:

$$s = \frac{1}{2}a_e t^2, \quad v = a_e t, \quad v = \sqrt{2a_e s}.$$

148.ábra

A foronomiai görbéket a 148.ábra szemlélteti.

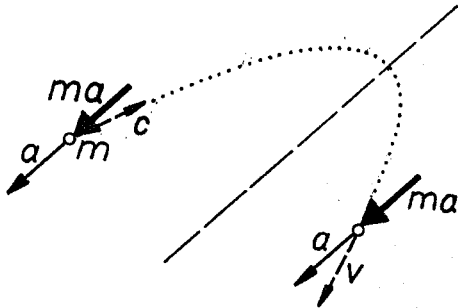
b.) \bar{c} vektor nem párhuzamos \bar{a} -val: állandó gyorsulású mozgás.

Ennél a mozgásnál az

$$\bar{r} - \bar{r}_0 = \bar{c}t + \frac{1}{2}\bar{a}t^2 = \bar{r}^x$$

(az \vec{r}_0 helyvektorú pontból a tömegpontba mutató) vektor a $\vec{c}t$ és az $\frac{1}{2}\vec{a}t^2$ vektorok eredője, a tömegpont tehát mindig a P_0 kezdőpontú \vec{a} és \vec{c} vektorok által kifeszített síkban van. Megmutatható, hogy a pálya olyan parabola íve, melynek tengelye párhuzamos az \vec{a} vektorral.

E mozgástípusnál a sebesség: $\dot{\vec{r}} = \vec{c} + \vec{a}t$,
 a gyorsulás: $\ddot{\vec{r}} = \vec{a}$.



149.ábra

Az állandó gyorsulású mozgás jellemzőit s a tömegpontra ható erőt a 149. ábra szemlélteti.

Bizonyítás nélkül megemlítünk két, az állandó gyorsulással kapcsolatos tételt:

Tétel: Ha az állandó gyorsulású mozgás sebessége t_1 t_2 időpontokban \vec{v}_1 , illetve \vec{v}_2 , akkor az említett időközökben

$$\vec{v}_{\text{atl}} = \frac{\vec{v}_1 + \vec{v}_2}{2}.$$

Tétel: Ha az állandó gyorsulású mozgás sebessége t_1 t_2 időpontokban \vec{v}_1 , illetve \vec{v}_2 , az elmozdulás vektor $\Delta\vec{r}$, a gyorsulás \vec{a} , akkor

$$\vec{v}_2^2 = \vec{v}_1^2 + 2\vec{a}\Delta\vec{r}.$$

C. Körmozgás

A tömegpont körmozgást végez, ha a pálya kör, vagy körív. Legfontosabb és legegyszerűbb fajtája az egyenletes körmozgás. Ezt az jellemzi, hogy a tömegpont állandó sebességgel halad körön, vagyis: $v = \dot{s} = \text{állandó}$.

Ezt a mozgástípust a 24. példában megvizsgáltuk, itt már csak kiegészítjük az ottani megállapításokat.

A pálya egyszeri befutásának ideje a keringési idő, vagy

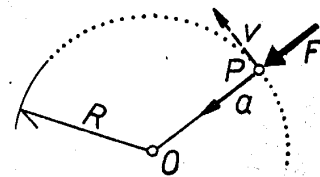
$$\text{periódus: } T = \frac{2\pi}{\omega} \text{ (s).}$$

A másodpercenkénti fordulatok száma a

$$\text{frekvencia: } f = \frac{1}{T} = \frac{\omega}{2\pi} \text{ (s}^{-1}\text{).}$$

Az $\omega = 2\pi f$ összefüggés alapján ω -t körfrekvenciának is nevezik. A kinematikai és kinetikai viszonyokat a 150. ábra szemlélteti. A tömegpontra állandó nagyságú erő hat, melynek vektora:

$$\vec{F} = m\vec{a} = -m\omega^2\vec{r} \quad (\vec{r} = \overrightarrow{OP}).$$



150. ábra

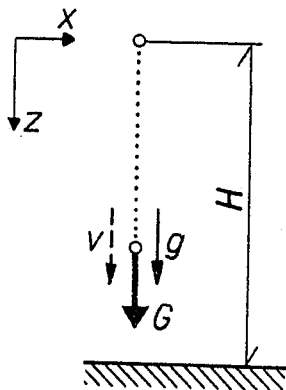
A tömegpont mozgása közben az állandó nagyságú $\vec{r}, \vec{v}, \vec{a}$ vektorok állandó szögsebességgel forognak.

Gyakran fordul elő az állandó pályagyorsulású körmozgás is. Ezzel a későbbiekben is foglalkozunk.

D. Szabadesés, hajítások

Ha a tömegpontot a Föld nehézségi erőterében magára hagyjuk és a tömegpont kezdeti sebessége $\vec{v}_0 = 0$, a mozgást szabad esésnek nevezik. Ha $\vec{v}_0 \neq 0$, a mozgás neve hajítás.

Az egyszerűség kedvéért a levegő ellenállását elhanyagoljuk és feltesszük, hogy a mozgás a földfelület közelében (legfeljebb néhány 100 méteres magasságban) történik. Ilyen körülmények között a szabadon eső tömegpont függőlegesen lefelé mozog, gyorsulásának nagysága: $g = 9,81 \text{ m} \cdot \text{s}^{-2}$ és a tömegpontra ható egyetlen erő a súlyerő. A 151. ábrán látható koordináta rendszerben



151.ábra

$$\bar{r} = \frac{1}{2} g t^2 \bar{k}, \text{ illetve } z = \frac{1}{2} g t^2,$$

$$\dot{\bar{r}} = \bar{v} = g t \bar{k}, \text{ illetve } \dot{z} = v = g t,$$

$$\ddot{\bar{r}} = \bar{a} = g \bar{k}, \text{ illetve } \ddot{z} = a_e = g.$$

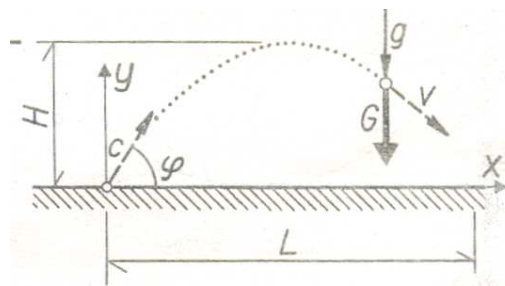
esés idejét T jelöli, akkor:

$$H = \frac{1}{2} g T^2, \quad T = \sqrt{\frac{2H}{g}},$$

$$\text{a végsebesség: } v_H = \sqrt{2g H}.$$

Pontosabb vizsgálatok szerint a szabadesés bonyolult jelenség (pl. a nehézségi gyorsulás több változó függvénye, a légellenállás nem hanyagolható el, a Föld forgása is figyelembe veendő), de a műszaki gyakorlat igényeit az egyszerűsített tárgyalásmód is kielégíti. A hajításokat szokás felosztani a $\bar{v}_0 \neq 0$ sebességvektor vízszintes, függőleges és ferde helyzetére alapján. Mi a legáltalánosabb esetet tekintjük át, a ferde hajítást, melynél a \bar{v}_0 vektornak a vízszintessel bezárt szöge $0 < \varphi < 90^\circ$.

A $\varphi = 0$ eset – a vízszintes hajítás, és a $\varphi = 90^\circ$ - a függőleges hajítás – a ferde hajítás



152.ábra

különleges eseteinek tekinthetők. A ferdén elhajított tömegpontra mozgása közben egyetlen erő hat, a súlyerő. A súlyerő, a tömeg és a gyorsulás állandóságából, valamint az állandó gyorsulású mozgás tulajdonságaiból

következik, hogy a ferdén elhajított

tömegpont pályája függőleges tengelyű parabola (152. ábra). Az ábrán látható koordináta rendszerben könnyen felírhatjuk a pálya egyenletét és néhány jellemző adatát. Az állandó gyorsulású mozgásra tanultak értelmében:

$$\bar{r} = \bar{c} t + \frac{1}{2} \bar{a} t^2.$$

$$\text{Itt } \vec{c} = |\vec{c} \cos \varphi \vec{i} + |\vec{c} \sin \varphi \vec{j}|,$$

$$\vec{a} = \ddot{y} \vec{j} = -g \vec{j}.$$

A tömegpont koordinátái tehát $c = |\vec{c}|$ jelöléssel:

$$x = c \cos \varphi t, \quad y = c \sin \varphi t - \frac{1}{2} g t^2.$$

A pálya explicit egyenlete: $y = x \operatorname{tg} \varphi - \frac{g}{2c^2 \cos^2 \varphi} x^2.$

Ebből a hajítási távolság: $L = \frac{c^2}{g} \sin 2\varphi.$

Ez akkor maximális, ha $\varphi = 45^\circ$, ekkor $L_{\max} = \frac{c^2}{g}.$

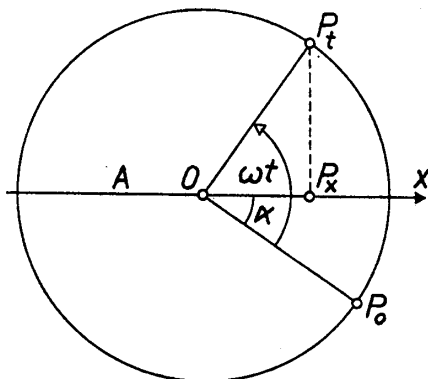
A röppálya magassága: $H = \frac{c^2 \sin^2 \varphi}{2g}.$

E. Harmonikus rezgő mozgás

A következőkben az egyenletes körmozgás vetületi mozgását vizsgáljuk.

Egy A sugarú körön állandó pályasebességgel mozgó pont kezdeti helyzete legyen P_0 és a ponthoz vezető sugár szögsebessége ω . Vetítsük a körön mozgó pontot az O kezdőpontú és a kör síkjában fekvő x tengelyre.

A vetületi pont mozgástörvénye a 153. ábra alapján: $x = A \cos (\omega t - \alpha).$



153.ábra

Könnyen belátható, hogy a tengely alkalmas megválasztásával a vetületi pont mozgástörvénye általában $x = A \cos$, vagy $x = B \sin (\omega t - \beta).$

Mindezeket a mozgásokat harmonikus rezgő mozgásnak nevezik. A mozgás függvényekben szereplő A (ill. B) – távolság dimenziójú mennyiség – a harmonikus rezgő mozgás amplitúdója, $\alpha(\beta)$ a nullafázisszög vagy fáziseltolási szög, ω a rezgés vetítő szögsebessége vagy körfrekvenciája. A vetületi pont a tengelyen váltakozó irányban mozog, miközben a származtató pont befutja a kört.

A rezgésidő és rezgésszám hasonlóan definiálható, mint a körmozgásnál.

A harmonikus rezgőmozgás

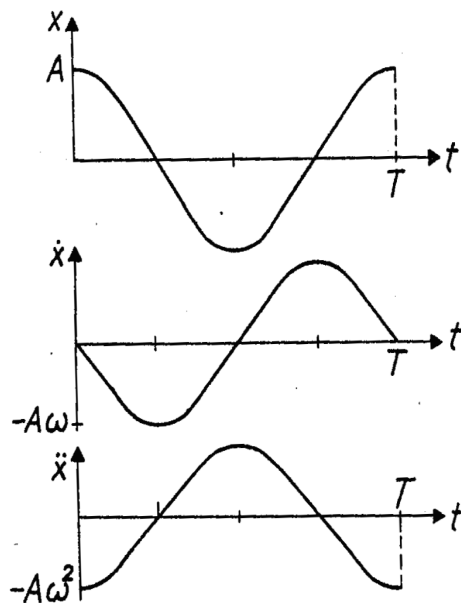
pályasebessége: $v = \dot{x} = -A\omega \sin(\omega t + \alpha)$,

pályagyorsulása: $a_e = \ddot{x} = -A\omega^2 \cos(\omega t + \alpha) = -\omega^2 x$.

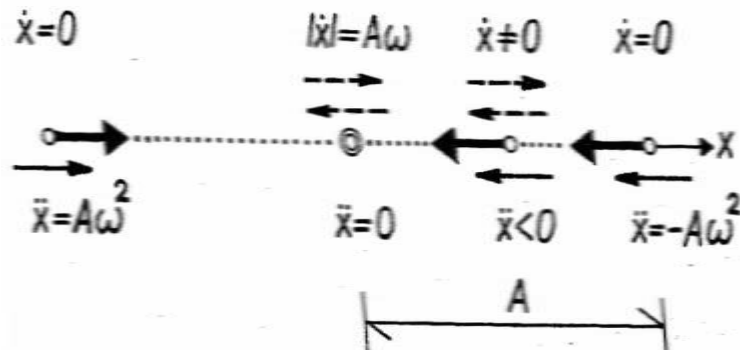
A foronómiai görbéket a 154. ábra szemlélteti. A fenti egyenletekből, ill. a foronómiai görbékből a harmonikus rezgő mozgás következő fontos tulajdonságai

olvashatók le:

- $x, v, e_e, T = \frac{2\pi}{\omega}$ szerint periodikus
- a pályasebességnek szélső értéke van, midőn az ívkoordináta zérus és megfordítva,
- a pályagyorsulásnak szélső értéke van midőn $|x| = A$, $x=0$ -nál a pályagyorsulás zérus,
- a pályagyorsulás egyenesen arányos az ívkoordinátával, de ellentétes előjelű.



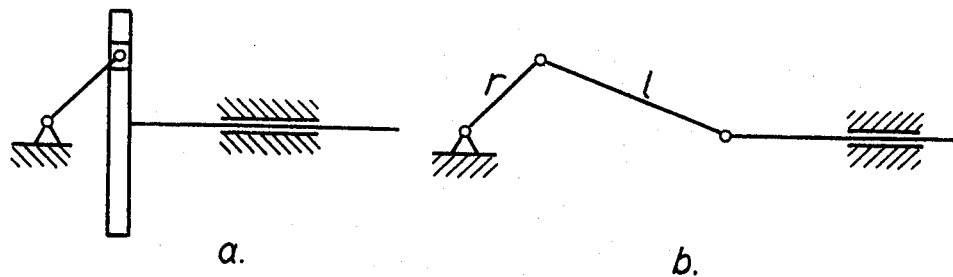
154.ábra



155.ábra

Megjegyezzük, hogy mindezek a tulajdonságok beláthatók a vetületi mozgásokra tanultak alapján is. A harmonikus rezgő mozgást végző tömegpont mozgásjellemzőit s a reá ható erőt a pálya néhány pontjában a 155. ábra szemlélteti.

E mozgásfajta műszaki jelentőségét az adja, hogy a gyakorlatban előforduló periodikus mozgások sokszor, közelítőleg harmonikus mozgások, vagy ilyenekből összetettnek tekinthetők. A 156. ábrán látható mechanizmusokkal megvalósítható a harmonikus rezgő mozgás. A kulisszás mechanizmussal (156/a) pontosan, a forgattyús mechanizmussal (156/b közelítőleg a közelítés annál jobb, minél nagyobb l/r).



156.ábra

Ha a mozgásjellemzőket nem az idő, hanem a koordináta függvényében vizsgáljuk, akkor a következő megállapításokat tehetjük:

- a) a $v=v(x)$ – ábra ellipszis,
- b) az $a_e = a_e(x)$ – ábra egyenes szakasz.

Először azt mutatjuk meg, hogy azok a pontok, melyeknek derékszögű koordinátái egy harmonikus rezgő mozgás összetartozó x, v értékei, ellipszisen vannak.

Legyen a mozgásegyenlet az egyszerűség kedvéért

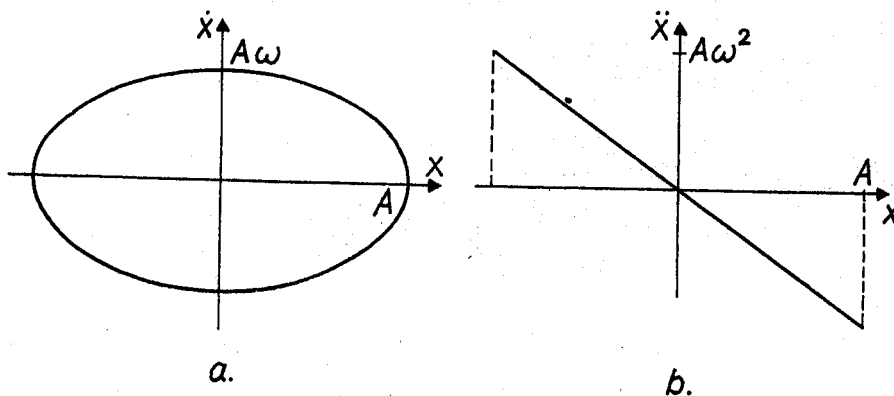
$$x = A \sin \omega t.$$

Ekkor $v^2 = A^2 \omega^2 \cos^2 \omega t = A^2 \omega^2 (1 - \sin^2 \omega t) = A^2 \omega^2 - \omega^2 x^2$, ebből

$$\frac{x^2}{A^2} + \frac{v^2}{A^2 \omega^2} = 1.$$

Tehát az x, v koordinátájú pontok egy $A, A\omega$ tengelyű ellipszisen vannak (157/a. ábra).

A gyorsulás ábrára vonatkozó állítás pedig az $a_e = -\omega^2 x, |x| \leq A$ összefüggésekből adódik (157/b. ábra).



157.ábra

Az

egyenes vonalú harmonikus rezgő mozgást származtathattuk volna az $a_e = \ddot{x} = -\omega^2 x = -Cx, (C > 0)$ összefüggésből kiindulva is. Vagyis abból a tulajdonságból, hogy a pályagyorsulás arányos és ellentétes előjelű a koordinátával. A kinetikában gyakran felhasználjuk, hogy az így definiált mozgás periódusa

$$T = 2\pi \sqrt{\frac{1}{C}}.$$

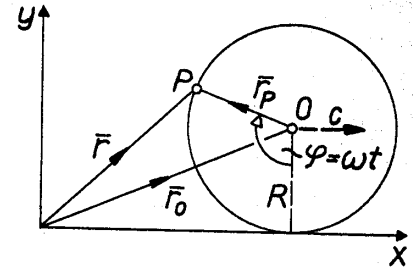
F. Ciklois-mozgás

A következőkben gördülő mozgást végző járműkerekek, ill. kör alakú tárcsák (pl. körfűrészlapok) pontjainak mozgásával foglalkozunk. Gördüljön egy R sugarú körlemez egy derékszögű koordináta rendszer x tengelyén úgy, hogy középpontjának

sebessége állandó \bar{c} legyen. $t=0$ -nál a körlemez középpontjának koordinátái legyenek: $0, R$ és vizsgáljuk azon pontjának mozgását, amely kezdetben egybeesett az origóval (158. ábra)- Egy későbbi időpontban az említett pont helyvektora: $\bar{r} = \bar{r}_0 + \bar{r}_p$

$$|\bar{c}| = c \quad \text{jelöléssel:} \quad \bar{r}_0 \begin{cases} ct \\ R \end{cases}$$

Az \bar{r}_p vektor felírása végett gondoljuk meg, hogy a körlemez mindegyik sugara (így az \bar{r}_p vektorral egybeeső is) egyenlő idők alatt egyenlő szöggel fordul el, vagyis a körlemez sebessége állandó ω



158.ábra

érték. $x_0 = ct = R\omega t$ a gördülés miatt, tehát $\omega = \frac{c}{R}$. Az \bar{r}_p vektor így a következő lesz:

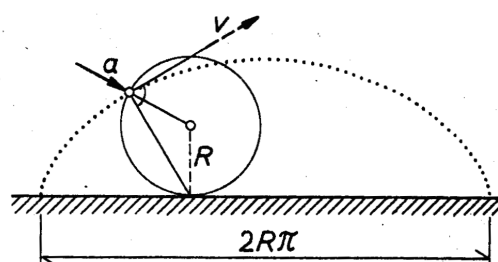
$$\bar{r}_p \begin{cases} -R \sin \frac{c}{R} t \\ -R \cos \frac{c}{R} t \end{cases}$$

A mozgásfüggvény tehát:

$$\bar{r} = \bar{r}_0 + \bar{r}_p : \begin{cases} ct - R \sin \frac{c}{R} t \\ R - R \cos \frac{c}{R} t \end{cases}$$

Ez egy közös csúcson ciklois egyenlete, a mozgás ciklois-mozgás. A sebesség és

gyorsulásvektor állását a 159. ábra szemlélteti. A gyorsulásvektor mindig a gördülő kör pillanatnyi középpontjába mutat. A sebességvektorra vonatkozólag később magyarázatot adunk. . Ha a



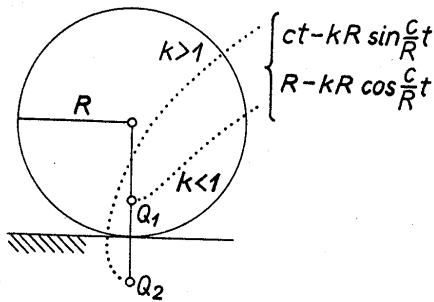
159.ábra

körlemez egy belső Q_1 , vagy egy, a körlemezhez rögzített külső Q_2 pontjának pályáját vizsgáljuk, teljesen hasonló megoldással élhetünk, csak R helyett a képletben kR szerepel. Ha $k < 1$, akkor nyújtott, ha $k > 1$ akkor hurkolt cikloist kapunk (160. ábra). Az ábra mellett feltüntettük a görbe paraméteres egyenletrendszerét is.

Ha egy tárcsa középpontjának sebessége c , s a tárcsa haladása közben ω szögsebességgel forog, akkor a nyújtott, ill. hurkolt ciklois-pályákat leíró pontokat elválasztó kör R sugarát az $R = \frac{c}{\omega}$ képlettel számíthatjuk ki.

29. Példa

Határozzuk meg közelítőleg a keretfűrész hajtórúdjában ébredő erőt üresjárat esetén! A közelítés abból fog állni, hogy a fűrészkeret mozgását harmonikus rezgő mozgásnak tekintjük, tehát a mozgást az $x = r \cos t \omega$ függvénnyel írjuk le (lásd: 22. és 24. példa).



160. ábra

amplitúdójú és ω körfrekvenciájú harmonikus rezgő mozgást végez (161. ábra). A

A hajtórúd $t=0$ -nál függőleges helyzetűnek vesszük.

Megoldás.

Legyen a fűrészkeret súlya G , a hajtórúd által a keretre gyakorolt erő F .

Modellezzük a fűrészkeretet egy tömegponttal, mely 0 pont körül r

mozgásegyenlet:

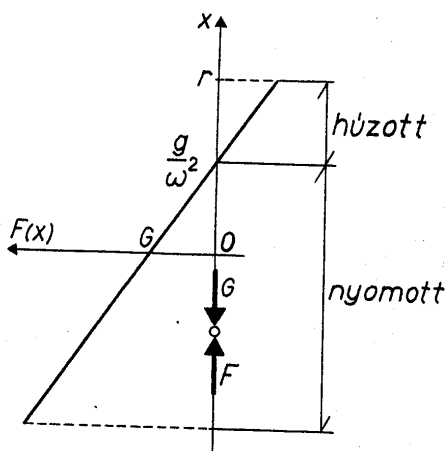
$$F - G = \frac{G}{g} \ddot{x} = \frac{G}{g} (-x\omega^2),$$

$$\underline{\underline{F = G(1 - \frac{x\omega^2}{g})}}$$

A rúderő tehát lineárisan változik.

A rúd nyomott a $-r \leq x < \frac{g}{\omega^2}$ szakaszon,

húzott a $\frac{g}{\omega^2} < x \leq r$ szakaszon.



161. ábra

3.6. Faforgácsoló gépek kinematikájának alapjai

RELATÍV MOZGÁSOK

A faforgácsoló gépek forgácsolást végző elemei – fogcsúcs késél – többnyire egyszerű mozgást végeznek a földhöz, az álló gépalaphoz kötött koordináta rendszerben. A pályák általában egyenes szakaszok, körök.

Ha azonban a mozgást – rendszerint mozgó – munkadarabhoz kötött koordináta rendszerben vizsgáljuk, a forgácsoló elemek mozgását jóval bonyolultabbnak találjuk.

Gyakran mégis szükség van arra, hogy a mozgást a munkadarabhoz kötött koordináta rendszerben vizsgáljuk, vagyis a forgácsolást végző elem relatív mozgását tanulmányozzuk.

A faforgácsoló gépek működtetése s az általuk előállított termékek minősége szempontjából egyaránt szükséges e relatív mozgásokkal kapcsolatos kinematikai tények ismerete.

A továbbiakban három jellegzetes esetben vizsgáljuk meg a relatív mozgásokat, a szaktárgyakban sorra kerülő részletes tárgyalás mechanikai előkészítéséül.

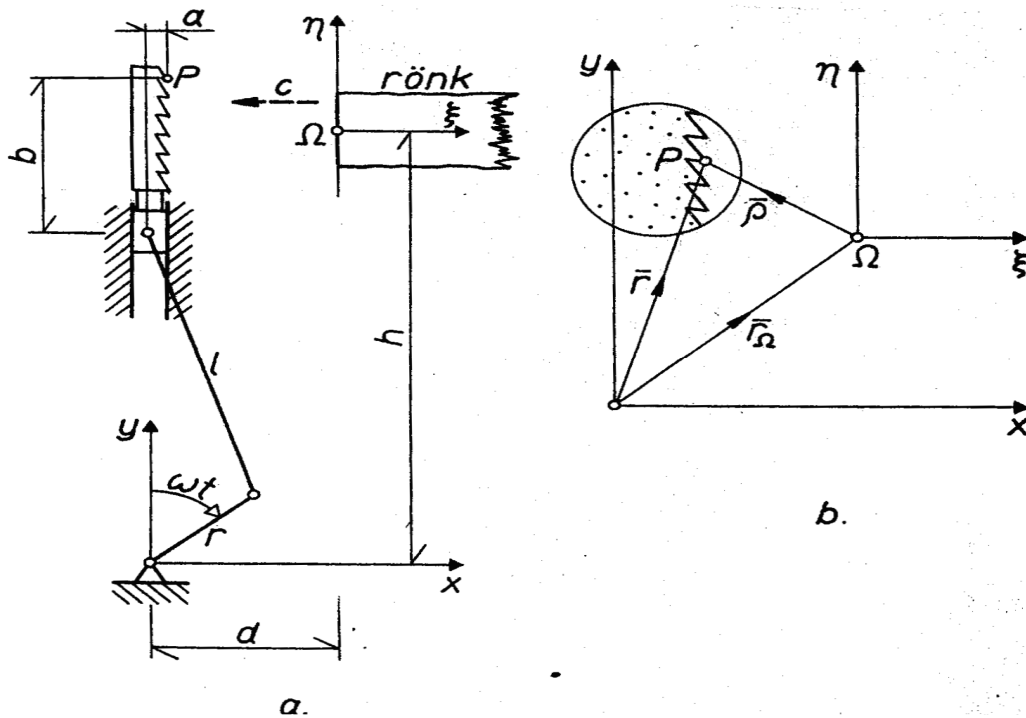
A KERETFŰRÉSZLAP FOGCSÚCSÁNAK RELATÍV MOZGÁSA

Legyen a keretfűrész gépalapjához kötött x, y koordináta rendszerben a fűrészlap P fogcsúcsának mozgása az „abszolút” mozgás, a keretfűrész felé tolt rönkhöz kötött ξ, η koordináta rendszerben vizsgált mozgás a „relatív” mozgás (162/a. ábra). Az ábrán alkalmazott jelölésekkel

$$\bar{r} = \bar{r}_\Omega + \bar{\rho},$$

Illetőleg

$$\bar{\rho} = \bar{r} - \bar{r}_\Omega.$$



162.ábra

A 162/b. ábra szerint \bar{p} a fogsúcs helyvektora a ξ, η rendszerben. Feltesszük, hogy a rönköt folyamatosan toljuk a gép felé, állandó c sebességgel. Ekkor az előbb említett vektorok a következők:

$$\bar{r} \begin{cases} r \cos \omega t + \sqrt{l^2 - r^2 \sin^2 \omega t} + b \\ a \end{cases}, \quad \bar{r}_\Omega \begin{cases} d - ct \\ h \end{cases},$$

a relatív mozgás törvénye tehát:

$$\bar{p} = \bar{r} - \bar{r}_\Omega : \begin{cases} a - d + ct \\ r \cos \omega t + \sqrt{l^2 - r^2 \sin^2 \omega t} + b - h \end{cases}.$$

Ha figyelembe vesszük, hogy $\sqrt{l^2 - r^2 \sin^2 \omega t} \approx l$, a közelítő mozgásfüggvény:

$$\bar{p} \begin{cases} a - d + ct \\ r \cos \omega t + l + b - h \end{cases}.$$

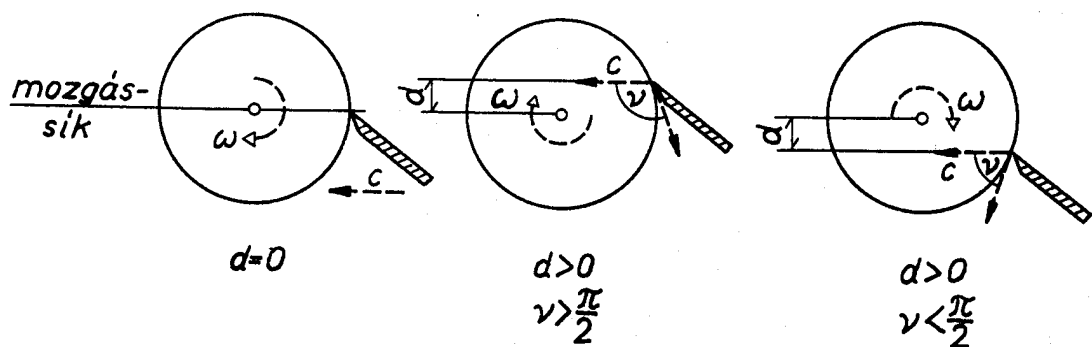
A fogcsúcs relatív pályája tehát általános sinus-vonal. A relatív mozgás sebessége közelítőleg:

$$\dot{\vec{p}} \begin{cases} c \\ -r\omega \sin \omega t \end{cases}$$

A fogcsúcs a rönkhöz viszonyított sebessége tehát c és $\sqrt{c^2 + r^2\omega^2}$ között ingadozik.

A FURNÉR-HÁMOZÓKÉS RELATÍV MOZGÁSA

Kinetikai szempontból a furnérhámozás lényege a következő: állandó ω szögsebességgel forgatunk egy R sugarú hengert, miközben egy, a henger tengelyével párhuzamos élű kést mozgatunk állandó sebességgel, a henger tengelyével párhuzamos síkban. Kinematikai szempontból a problémát a késél mozgásának vizsgálata jelenti a hengerhez kötött koordináta rendszerben.



163.ábra

A vizsgálat célja polárkoordináta rendszert célszerű alkalmazni. Ha a késél mozgássíkjának a henger tengelyétől mért távolsága d , a késél sebességvektorának és az él támadáspontjának (ez a hengerhez tartozik) sebességvektora által bezárt szög ν (163. ábra), akkor a következő esetek különböztethetők meg:

$D=0$ ESET

Ez az eset igen egyszerű. A 164. ábráról leolvasható, hogy a hengerrel együtt forgó polárkoordináta rendszerben

$$\underline{r = R - ct}, \quad \underline{\varphi = \omega t}.$$

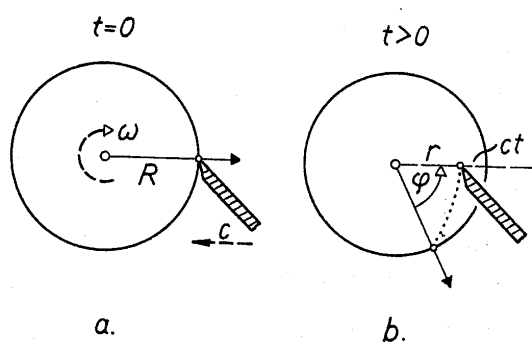
A késél mozgása $T = \frac{R}{c}$ ideig

tart.

A mozgásfüggvény $r = r(\varphi)$

alakban a következő:

$$\underline{\underline{r = R - \frac{c}{\omega} \varphi}}$$



164.ábra

A relatív pálya archimedeszi spirális. A vágási sebesség komponensei:

$$v_r = \dot{r} = -c, \quad v_\varphi = r\dot{\varphi} = (R - ct)\omega.$$

A vágássebesség abszolút értéke az idő függvényében:

$$\underline{\underline{v = \sqrt{c^2 + (R - ct)^2 \omega^2}}}$$

A sugár függvényében:

$$\underline{\underline{v = \sqrt{c^2 + r^2 \omega^2}}}$$

$d > 0, \quad \nu < \pi/2$ ESET.

A 165.ábra alapján először az $r=r(t)$ függvényt írjuk fel:

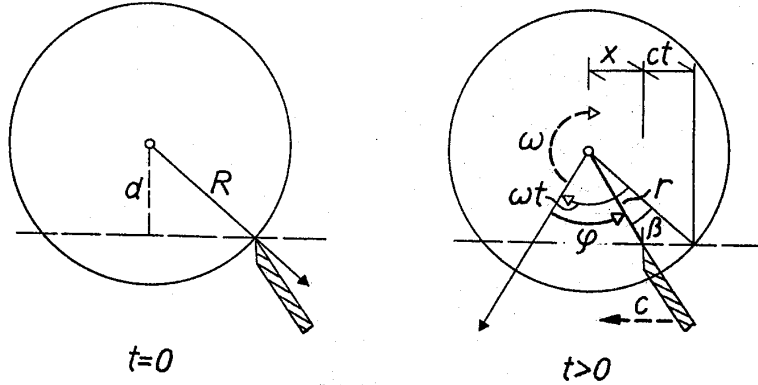
$$r^2 = d^2 + x^2, \quad x = \sqrt{R^2 - d^2} - ct,$$

$$r = \sqrt{d^2 + (\sqrt{R^2 - d^2} - ct)^2}$$

$$\underline{\underline{r = \sqrt{R^2 - 2ct\sqrt{R^2 - d^2} + c^2 t^2}}}$$

A $\varphi = \varphi(t)$ szög így számítható:

$$\varphi = \omega t - \beta, \quad \beta = \arccos \frac{d}{R} - \arccos \frac{d}{r},$$



165.ábra

$$\varphi = \omega t - \arccos \frac{d}{R} + \arccos \frac{d}{\sqrt{R^2 - 2ct\sqrt{R^2 - d^2} + c^2t^2}}.$$

$v > \pi/2$ ESET

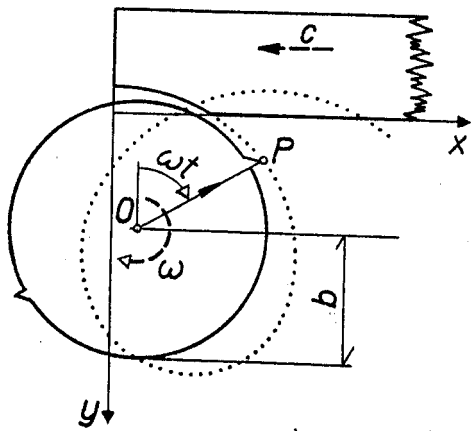
Hasonlóan intézhető el, mint a $v < \pi/2$ eset, φ képletében jelentkezik csupán előjelkülönbség. Figyelemre méltó, hogy azonos d esetén két különböző alakú relatív pálya adódik.

A GYALUGÉP VÁGÓÉLÉNEK RELATÍV MOZGÁSA

A gyalugép vágó-élének és a körfűrészlap fogcsúcsának relatív pályája (a faanyaghoz kötött koordináta-rendszerben) teljesen hasonló gondolatmenettel határozható meg, mint amelyet a ciklois mozgásnál követtünk.

A gyalugép forgórésze (166. ábra) a tengely körül ω szögsebességgel forog, miközben a munkadarab c sebességgel halad előre. A vágó-él valamely pontjának pályáját a munkadarabhoz kötött x, y koordináta rendszerben vizsgáljuk.

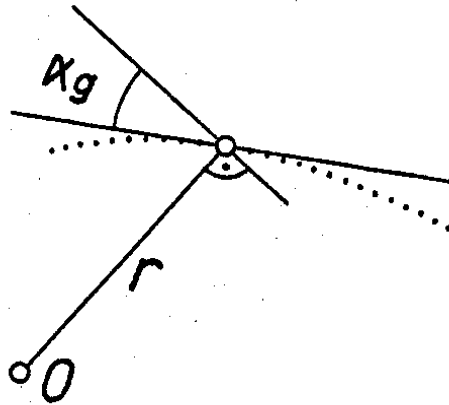
A ciklois mozgásnál szerepelt három vektornak most a következők felelnek



166.ábra

$$\text{meg: } \bar{r}_0 \begin{cases} ct \\ b \end{cases}, \quad \bar{r}_p \begin{cases} R \sin \omega t \\ -R \cos \omega t \end{cases}, \quad \bar{r} = \bar{r}_0 + \bar{r}_p = \begin{cases} ct + R \sin \omega t \\ b - R \cos \omega t \end{cases}$$

Most c és ω között nem áll fenn a $c=R\omega$ kapcsolat. A relatív pályagörbe hurkolt ciklois.



167.ábra

30. példa

Furnérhámozásnál bizonyos jelentősége van a kinematikai hátszögnek. Ez a relatív pályagörbe valamely érintője s az érintési ponthoz tartozó sugár normálisának szöge. A szakirodalom α_g -vel jelöli. (167.ábra)

Határozzuk meg ezt a szöget

archimedesi spirális, vagyis $d=0$ esetén.

Megoldás.

A sebességvektor polár-koordinátás felbontásából leolvasható, hogy

$$\operatorname{tg}\alpha_g = \left| \frac{v_r}{v_\phi} \right| = \frac{c}{(R - ct)\omega}.$$

Szükség lehet a kinematikai hátszög és a h furnérvastagság közti kapcsolatra is. Ha T a forgás periódusa, $h = cT = c \frac{2\pi}{\omega} \cdot c - t$ visszahelyettesítve és figyelembe véve, hogy $R - ct = r$,

$$\alpha_g = \operatorname{arctg} \frac{h}{2\pi r}.$$

3.7. Munka, teljesítmény, energia

Néhány további fogalom bevezetésével olyan tételekhez juthatunk, melyek feladatok során gyakran előnyösebben használhatók, mint az alapegyenlet.

MECHANIKAI MUNKA

Ha egy tömegpontra állandó F erő hat, miközben a tömegpont elmozdulás vektora $\Delta\vec{r}$, akkor az erő által végzett mechanikai munka

$$W = \vec{F}\Delta\vec{r} = |\vec{F}||\Delta\vec{r}|\cos\varphi \quad (\text{kg}\cdot\text{m}^2\cdot\text{s}^{-2})$$

(φ a két vektor által bezárt szög)

A munka mértékegysége 1 joule = 1 Nm, jele: J.

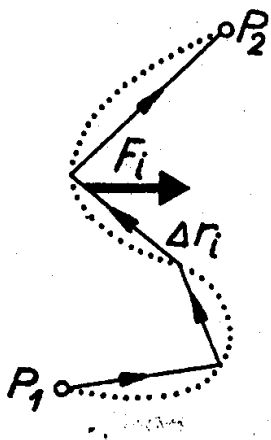
Ez a skaláris mennyiség pozitív, zérus, vagy negatív lehet, eszerint, amint az erő- és elmozdulás-vektor szöge hegyes- derék- vagy tompaszög.

Ha $\Delta\vec{r}$ elmozdulás során F_1, F_2, \dots, F_n állandó erők hatnak a tömegpontra, akkor

$$W = \vec{F}_1\Delta\vec{r} + \vec{F}_2\Delta\vec{r} + \dots + \vec{F}_n\Delta\vec{r} = (\vec{F}_1 + \vec{F}_2 + \dots + \vec{F}_n)\Delta\vec{r} = \vec{F}\Delta\vec{r}.$$

Tehát az eredő munkája egyenlő az összetevők munkáinak algebrai összegével.

Általános esetben, mikor a tömegpont valamilyen görbe vonalon jut el az \vec{r}_1 helyvektorú P_1 pontból az \vec{r}_2 helyvektorú P_2 pontba és közben \vec{F} is változik, a mechanikai munka értelmezése a következő. A P_1, P_2 görbedarabot n részre osztjuk úgy, hogy az osztópontok egy P_1 -től P_2 -be vivő vektorsokszög szögpontjai legyenek (168. ábra). Ha elég sűrű a görbedarab felosztása, akkor a vektorsokszöget alkotó elmozdulás vektorok jól megközelítik a pályagörbét és az



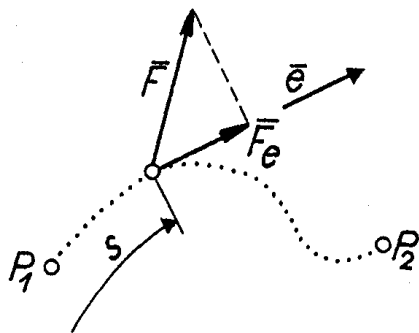
168.ábra

$\vec{F}_1\Delta\vec{r}_1 + \vec{F}_2\Delta\vec{r}_2 + \dots + \vec{F}_n\Delta\vec{r}_n$ összeg tekinthető a változó F erő munkája közelítő értékének, midőn F támadáspontja P_1 -ből P_2 -be jut.

Itt $\vec{F}_1, \vec{F}_2, \dots, \Delta\vec{r}_1, \Delta\vec{r}_2, \dots$ elmozdulás vektorhoz tartozó és egy-egy szakaszon állandónak vehető vektor. Ezek után a munka definícióját így adhatjuk meg:

$$W = \lim_{\substack{n \rightarrow \infty \\ \max|\Delta\vec{r}_i| \rightarrow 0}} \sum_{i=1}^{i=n} \vec{F}_i \Delta\vec{r}_i = \lim_{n \rightarrow \infty} \sum_{i=1}^{i=n} (F_{x_i} \Delta x_i + F_{y_i} \Delta y_i + F_{z_i} \Delta z_i) =$$

$$\int_{x_1}^{x_2} F_x dx + \int_{y_1}^{y_2} F_y dy + \int_{z_1}^{z_2} F_z dz = \int_{\vec{r}_1}^{\vec{r}_2} \vec{F} d\vec{r}, \quad \vec{r}_1(x_1, y_1, z_1), \quad \vec{r}_2(x_2, y_2, z_2).$$

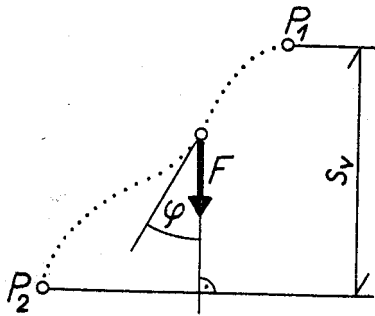


169.ábra

Ha az F erőt a pálya érintőjébe eső F_e és arra merőleges összetevőre bontjuk fel (169. ábra), akkor az F erő ds úton végzett elemi munkáját az F_e összetevő munkája adja. Ha az $F_e = F_e(s)$ függvény – vagyis az érintőleges komponens az ívkoordináta függvényében – ismert, akkor az s_1 , ill. s_2 ívkoordinátájú P_1 , ill. P_2 pontok között végzett munka:

$$W = \int_{s_1}^{s_2} F_e(s) ds.$$

Speciálisan, ha az erő támadáspontjának pályája görbe vonal és az erő vektora állandó (170. ábra), akkor a munka:



170.ábra

$$W = \int_{s_1}^{s_2} F \cos \varphi \cdot ds = F \int_{s_1}^{s_2} \cos \varphi \cdot ds = F s_v,$$

s_v : a pályaszakasz vetületének előjeles hossza.

MECHANIKAI TELJESÍTMÉNY

A munkavégzés sebességének jellemzésére vezetjük be a mechanikai teljesítmény fogalmát.

Valamely t idő alatt ΔW munkát végző erő átlagos teljesítménye:

$$P_{\text{átl}} = \frac{\Delta W}{\Delta t}.$$

Az erő- és munkagépeknél általában ezzel számolnak.

Az átlagteljesítmény $\Delta t \rightarrow 0$ -ra adódó határértéke a pillanatnyi teljesítmény:

$$P = \frac{dW}{dt}.$$

Ez a skaláris mennyiség pozitív, zérus vagy negatív lehet. A teljesítmény mértékegysége az 1 watt, jele W .

$$1W = 1J \cdot s^{-1} = 1m^2 \cdot s^{-3} \cdot kg.$$

Nagyobb egység a kilowatt=1000 watt.

A teljesítmény fontos kifejezéséhez juthatunk el a következőképpen:

$$P = \frac{dW}{dt} = \frac{\bar{\mathbf{F}} \cdot d\bar{\mathbf{r}}}{dt} = \bar{\mathbf{F}} \bar{\mathbf{v}} = F_x \dot{x} + F_y \dot{y} + F_z \dot{z}$$

Ha ismert pálya adataival kívánunk dolgozni, a

$$P = \mathbf{F}_e \mathbf{v}$$

Képlettel is számolhatunk, ahol v a pályasebesség.

Ha a tömegpontra több erő hat, az eredő erő teljesítménye egyenlő az összetevő erők teljesítményeinek algebrai összegével. Ugyanis ha az összetevők $\bar{\mathbf{F}}_1, \dots, \bar{\mathbf{F}}_n$, az eredő $\bar{\mathbf{F}}$, a sebesség $\bar{\mathbf{v}}$:

$$\bar{\mathbf{F}}_1 \bar{\mathbf{v}} + \bar{\mathbf{F}}_2 \bar{\mathbf{v}} + \dots + \bar{\mathbf{F}}_n \bar{\mathbf{v}} = (\bar{\mathbf{F}}_1 + \bar{\mathbf{F}}_2 + \dots + \bar{\mathbf{F}}_n) \bar{\mathbf{v}} = \bar{\mathbf{F}} \bar{\mathbf{v}}.$$

A teljesítmény és a munka közötti kapcsolata következő: ha W jelöli az erő által a t_1, t_2 időközben végzett munkát, akkor

$$W = P \cdot dt = \bar{\mathbf{F}} \bar{\mathbf{v}} \cdot dt,$$

$$W = \int_{t_1}^{t_2} [F_x(t) \dot{x}(t) + F_y(t) \dot{y}(t) + F_z(t) \dot{z}(t)] dt.$$

MECHANIKAI HATÁSFOK

A gépek működése közben a befektetett W_b munka egy része nem az eredeti célra, hanem különféle ellenállások leküzdésére fordítódik. Ha ezt a veszteséget W_v -vel jelöljük, akkor a gép rendeltetése szempontjából hasznos munka

$$W_h = W_b - W_v.$$

A gépek gazdaságosságát jellemzi a mechanikai hatásfok:

$$\eta = \frac{W_h}{W_b}.$$

A hatásfok 1-nél kisebb, dimenzió nélküli szám.

A hatásfok más formában:

$$\eta = \frac{W_h}{W_b} = \frac{W_b - W_v}{W_b} = 1 - \frac{W_v}{W_b}.$$

Kifejezhetjük a hatásfokot a teljesítménnyel is, ha a fenti törtek számlálóját és nevezőjét az idővel elosztjuk:

$$\eta = \frac{P_h}{P_b} = \frac{P_b - P_v}{P_b} = 1 - \frac{P_v}{P_b},$$

Ahol P_b , P_h , P_v a befektetett, hasznos teljesítmény, ill. teljesítmény-veszteség.

Ha egy hajtómű hatásfoka η_1 és a hajtóművel egy η_2 hatásfokú gépet működtetünk, akkor a második géppel közölt

teljesítmény $P_b^2 = \eta_1 P_b^1$, így a rendszer hatásfoka: $\eta = \frac{\eta_2 \eta_1 P_b^1}{P_b^1} = \eta_1 \eta_2$.

Általában $\eta_1, \eta_2, \dots, \eta_n$ hatásfokú gépekből álló rendszer esetén az összh hatásfok:

$$\eta = \eta_1 \cdot \eta_2 \dots \eta_n.$$

MECHANIKAI ENERGIA

Az m tömegű, \bar{v} sebességű tömegpont kinetikai energiáját így értelmezzük:

$$E_k = \frac{1}{2} m v^{-2} = \frac{1}{2} m v^2 = \frac{1}{2 m s^2}.$$

Ez a munka jellegű skaláris mennyiség, mértékegységei azonosak a munka mértékegységeivel.

Ha az m tömegű, zérus-sebességű anyagi pontot v sebességűre gyorsítjuk, a gyorsító erő munkája $\frac{1}{2} m v^2$.

A kinetikai energia t , s , v –szerinti deriváltjainak kinetikai jelentésük van, ugyanis:

$$\frac{dE_k}{dt} = \frac{d\frac{1}{2}mv^2}{dt} = \frac{1}{2}2mv\frac{dv}{dt} = mv\frac{F_e}{m} = P,$$

$$\frac{dE_k}{ds} = \frac{1}{2}2mv\frac{dv}{ds} = mv\frac{dv}{dt}\frac{dt}{ds} = mv a_e \frac{1}{v} = F_e,$$

$$\frac{dE_k}{dv} = \frac{1}{2}2mv = mv.$$

31. Példa

Számítsuk ki a fűrészkeret kinetikai energiáját

- az idő függvényében,
- az ívkoordináta (kitérés) függvényében.

Egyszerűség kedvéért tekintsük $x=r \cos \omega t$ törvényű harmonikus rezgő mozgásnak a fűrészkeret mozgását. A keretfűrész tömege m , a forgattyú sugara r , a forgattyú szögsebessége ω .

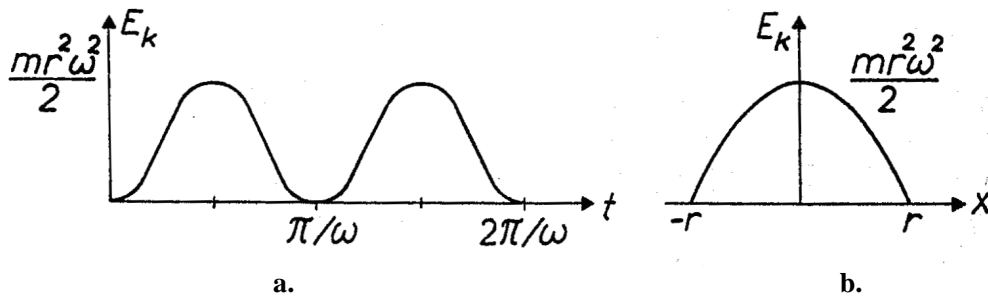
Megoldás.

A fűrészkeret sebessége $v=-r\omega \sin \omega t$, így az energia:

$$a) E_k = \frac{1}{2}mv^2 = \frac{1}{2}m(-r\omega \sin \omega t)^2, \quad \underline{\underline{E_k = \frac{1}{2}mr^2\omega^2 \sin^2 \omega t}}$$

$$b) E_k = \frac{1}{2}mv^2 = \frac{1}{2}m(-r\omega\sqrt{1-\cos^2 \omega t})^2 = \frac{1}{2}mr^2\omega^2(1-\frac{x^2}{r^2}), \quad \underline{\underline{E_k = \frac{1}{2}m\omega^2(r^2 - x^2)}}.$$

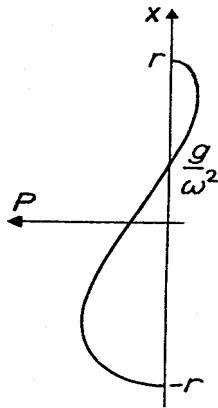
Az energia változását t , ill. x függvényében a 171. ábra szemlélteti.



171.ábra

32. Példa

Számítsuk ki az előző példában szereplő keretfűrész hajtórúdjában ébredő erő teljesítményét a koordináta függvényében. Megoldás. A 29. Példa ábrája és eredménye alapján számolhatunk. Változzék x $-r$ -től $+r$ -ig.



172.ábra

$$P = P(x) = Sv = G\left(1 - \frac{x\omega^2}{g}\right)(-r\omega \sin \omega t) = Gr\omega\left(\frac{\omega^2}{g}x - 1\right)\sqrt{1 - \cos^2 \omega t}.$$

$$\underline{\underline{P(x) = Gr\omega\left(\frac{\omega^2}{g}x - 1\right)\sqrt{1 - \frac{x^2}{r^2}}.}}$$

A függvényt a 172. ábra szemlélteti.

3.8. Kinetikai tételek

EGYETLEN TÖMEGPONTRA VONATKOZÓ TÉTELEK

A tömegpontra ható erő F_e érintőleges komponense és a pályasebesség között az alapegyenlet értelmében fennáll az $F_e = m \frac{dv}{dt}$ összefüggés, melyből a tömegpont mv mozgás mennyiségének megváltozása:

$$mv_2 - mv_1 = \int_{t_1}^{t_2} F_e(t) dt.$$

Általánosabban, ha t_1 időpontban az m tömegű anyagi pont sebessége \bar{v}_1 , t_2 időpontban \bar{v}_2 , s a tömegpontra ható erő $\bar{F}(t)$, akkor érvényes a következő

Tétel (impulzustétel):

$$m\bar{v}_2 - m\bar{v}_1 = \int_{t_1}^{t_2} \bar{F}(t) dt.$$

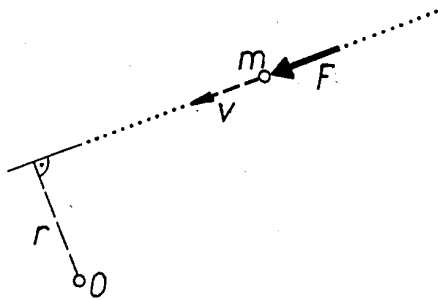
A tétel alapján, az erő ismeretében következtethetünk a sebességváltozásra, ill. kiolvasható a tételből, hogy a mozgásmennyiségnek rövid időn belüli nagy változását (ütközés) nagy erő

idézi elő. Az $\int_{t_1}^{t_2} \bar{F}(t) dt$ mennyiséget lökésnek vagy impulzusnak nevezik.

A tömegpont kinetikai energiájának az ívkoordináta szerint deriváltja - mint láttuk - :

$$\frac{dE_k}{ds} = \frac{d}{ds} \left(\frac{1}{2} mv^2 \right) = F_e, \text{ amiből}$$

$$\frac{1}{2} mv_2^2 - \frac{1}{2} mv_1^2 = \int_{s_1}^{s_2} F_e(s) ds = W.$$



173.ábra

Általánosabban, ha t_1 időpontban az m tömegű anyagi pont sebessége \bar{v}_1 , t_2 időpontban \bar{v}_2 , s a tömegpontra ható erő munkája a vizsgált időközben W , akkor érvényes a következő

Tétel (munkatétel):

$$\frac{1}{2} mv_2^2 - \frac{1}{2} mv_1^2 = \int_{\bar{r}_1}^{\bar{r}_2} \bar{F}(\bar{r}) d\bar{r} = \int_{s_1}^{s_2} F_e(s) ds = W.$$

Ez a tétel – éppen úgy, mint az előző – a kinetika alaptételének következménye. Az alaptételnél kevesebbet mond, mert a tömegpontra ható erők eredőjének normális

komponensét nem tartalmazza. Különösen olyankor alkalmazható előnyösen, mikor a tömegpont sebességét keressük az ismert pálya egyes helyein.

A tétel értelmében, ha a pályasebesség – s így a kinetikai energia – nem változik meg, akkor az erők összmunkája zérus. Legyen a síkban mozgó tömegű pont sebessége v , a pontra ható erő F és a pálya egyenesének távolsága a tetszőleges O pontról r . Ekkor $F = m \frac{dv}{dt}$, ill. mindkét

$$\text{oldalt } r\text{-rel szorozva } rF = rm \frac{dv}{dt} = d \frac{rmv}{dt}.$$

$rF = M_0$ az erőnek, $rmv = \Pi_0$ pedig a mozgásmennyiségnek O -ra vonatkozó nyomatéka. Fennáll tehát a következő összefüggés:

$$M_0 = \frac{d\Pi_0}{dt}, \text{ ill. } \Pi_2 - \Pi_1 = \int_{t_1}^{t_2} M(t) dt.$$

Általánosabban is érvényes tételhez juthatunk a következőképpen: legyen az O nyomatékvonakoztatási pont egy derékszögű koordináta rendszer kezdőpontja, s legyen az m tömegű pont helyvektora \vec{r} , sebessége \vec{v} , akkor a tömegpont mozgásmennyisége $m\vec{v}$, ennek O -ra vonatkozó perdülete $\vec{r} \times m\vec{v}$. A perdület valamely tengelyre is számítható, például az x tengelyre $\Pi_x = m(yz)$. Legyen végül a tömegpontra ható erő O -ra vonatkozó nyomatéka \vec{M} , ekkor érvényes a következő

Tétel (perdület-tétel):

$$\frac{d\bar{\Pi}_0}{dt} = \bar{M}_0, \text{ ill. ha } t_1, t_2 \text{ időpontban a perdület } \bar{\Pi}_1, \text{ ill. } \bar{\Pi}_2, \text{ akkor}$$

$$\bar{\Pi}_2 - \bar{\Pi}_1 = \int_{t_1}^{t_2} \bar{M}(t) dt.$$

A tételből kiolvasható, hogy a perdület nem változik meg, ha a tömegpontra ható erők O -ra vonatkozó nyomatéka zérus. A tétel hasznosságáról a továbbiakban győződhetünk meg.

TÖMEGPONT-RENDSZERRE VONATKOZÓ TÉTEL

Több tömegpontból álló rendszer esetén a rendszer tömegközéppontját így értelmezzük:

$$\bar{\mathbf{r}}_c = \frac{\sum m_i \bar{\mathbf{r}}_i}{\sum m_i},$$

ahol $\bar{\mathbf{r}}_i$ az i -edik tömegpont helyvektora, m_i a tömege. A tömegközéppont – bár elvileg különbözik – a műszaki gyakorlat szemszögéből azonosnak vehető a rendszer pillanatnyi súlypontjával.

Tétel: A tömegpontrendszer tömegközéppontjának mozgásmennyisége egyenlő a rendszert alkotó tömegpontok mozgásmennyiségeinek vektorális összegével:

$$\underline{\underline{m\bar{\mathbf{v}}_c = \sum m_i \bar{\mathbf{v}}_i, \quad \text{ahol} \quad m = \sum m_i}}$$

Tétel: (a tömegközéppont tétele): ha a tömegpontrendszer tömegközéppontjának gyorsulása $\bar{\mathbf{a}}_c$, a rendszerre ható külső erők (a rendszerhez nem tartozó testek hatásai) vektorális összege

$$\sum \bar{\mathbf{K}}_i = \bar{\mathbf{K}} \text{ akkor}$$

$$\bar{\mathbf{K}} = m\bar{\mathbf{a}}_c.$$

A tömegközéppont mozgását ezek szerint a rendszer sebességállapota és a külső erők szabják meg.

A tétel fontos speciális esete: ha $\bar{\mathbf{K}} = 0$, akkor $\bar{\mathbf{a}}_c = 0$, $\bar{\mathbf{v}}_c = \text{const.}$ vagyis, ha a külső erők összege zérus, akkor a rendszer mozgásmennyisége állandó, a tömegközéppont állandó sebességű mozgást végez vagy nyugalomban van.

Általánosíthatjuk a korábban megismert munka- és perdület-tételt is. A tömegpontrendszer kinetikai energiáját a rendszert alkotó elemek kinetikai energiájának algebrai összegezésével nyerjük. A tömegpontrendszerre ható erők munkája hasonlóan számítható. Figyelembe

veendő azonban, hogy általában a belső erők végezhetnek munkát, amennyiben nem merev testről van szó.

Ha a tömegpontrendszer elemeire a munkatételt alkalmazzuk, s az egyenlőségeket összegezzük, akkor a rendszerre vonatkozólag érvényes munkatételhez jutunk:

Tétel (munkatétel): a tömegpontrendszer kinetikai energiájának megváltozása egyenlő a rendszerre ható (külső és belső) erők munkájával:

$$\sum \frac{1}{2} m_i \bar{v}_{i2}^2 - \sum \frac{1}{2} m_i \bar{v}_{i1}^2 = W_b + W_k,$$

W_b : a belső erők munkája

W_k : a külső erők munkája.

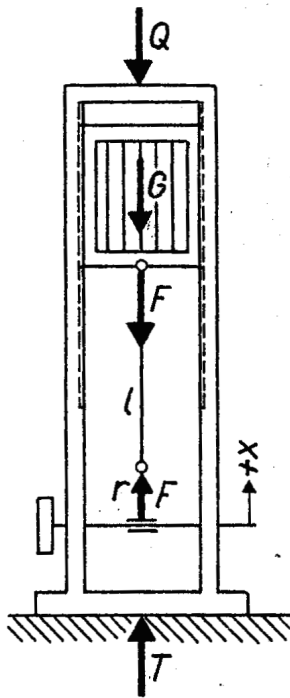
Merev test esetében csak a külső erők munkájával számolunk. A tömegpontrendszernek egy fix pontra vonatkozó perdületén az egyes tömegpontok perdületeinek vektorális összegét értjük.

Tétel (perdület-tétel): a tömegpontrendszer valamely fix 0 pontra (tengelyre) vonatkozó perdületének idő szerinti deriváltja egyenlő a külső erők ugyanazon pontra (tengelyre) vonatkozó nyomaték összegével:

$$\frac{d\Pi}{dt} = \sum (\bar{r}_i \times \bar{K}_i) = \bar{M}.$$

A tétel értelmében a perdület megváltozását csak külső erők okozhatják, a belső erők ilyen szempontból hatástalanok. A későbbiekben hivatkozni fogunk arra a tényre, hogy a perdület-tétel akkor is érvényes, ha nyomatékvonatkoztatási pontul a tetszőlegesen mozgó tömegközéppontot választjuk.

33. Példa



174.ábra

A 174. ábrán egy keretfűrészét ábrázoltunk egyszerűsítve. A forgattyúkar hossza r , a hajtórúdé l , a forgattyú szögsebessége ω , az állvány és a keret súlya Q ill. G . Számítsuk ki a T támasztó erő nagyságát a keret szélső helyzeteiben.

Megoldás.

Alkalmazzuk a pontrendszerekről tanultakat az állványból és a keretből álló rendszerre! Külső erők: Q , G , T ; belső erők: az F jelűek. A rendszer súlypontjának sebessége (ha feltesszük, hogy a keret $x=l+r \sin \omega t$ törvény szerint mozog):

$$v_c = \frac{1}{m} \sum m_i v_i = \frac{g}{Q+G} \frac{G}{g} r \omega \cos \omega t .$$

A súlypont gyorsulása:

$$a_c = \frac{-Gr}{Q+G} \omega^2 \sin \omega t ,$$

a felső helyzetben

$$a_c = \frac{-Gr}{Q+G} \omega^2 .$$

A súlyponttétel értelmében:

$$T - Q - G = \frac{Q+G}{g} \left(-\frac{Gr}{Q+G} \omega^2 \right), \quad \underline{\underline{T = Q + G \left(1 - \frac{r\omega^2}{g} \right)}} .$$

A képletből kiolvasható, hogy elegendő nagy fordulatszámnál a T erő iránya megfordulhat.

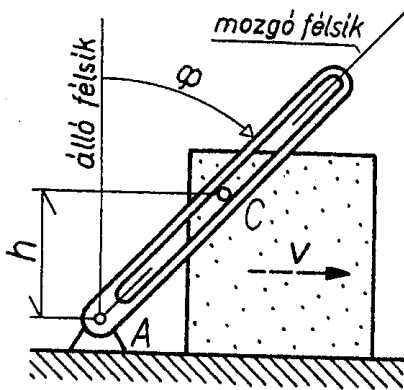
Az alsó helyzetben:

$$\underline{\underline{T = Q + G \left(1 + \frac{r\omega^2}{g} \right)}} .$$

3.9. A forgó mozgás kinematikája

A továbbiakban kizárólag merev testekkel foglalkozunk. A merev test egyik legfontosabb mozgástípusa a forgó mozgás. Forgó mozgást végez a test, ha két pontja (esetleg a test alkalmas kiegészítésével nyerhető testté) a mozgás következtében nyugalomban marad. A két pontot összekötő (irányított) egyenes a test forgástengelye. A testnek a forgástengelyhez tartozó pontjai nyugalomban vannak, a többi pontja a forgástengelyre merőleges síkú körökön mozog. A körközepponatok a forgástengelyre esnek.

A mozgás leírásához felvesszünk egy fix és egy a testtel együtt mozgó fél-síkot, melynek határ egyenese a forgástengely, előjeles szögét. Pontosabban a $\varphi = \varphi(t)$ függvényt, mely a φ szögkoordinátának az időben történő változását írja le. Az elmondottak szemléltetésére nézzük az alábbi feladatot.



175.ábra

A 175. ábrán látható hasáb állandó v sebességgel mozog jobbra, s a hasítékkal ellátott, s az A pont körül forgatható rudat a C csapszeg segítségével elmozgatja.

Határozzuk meg a rúdforgó mozgását leíró $\varphi = \varphi(t)$ függvényt! A forgástengely most az A pontban a papír síkjára merőleges tengely, a fix fél-sík az alapsíkra merőleges, a testhez kötött fél-sík a rúd szimmetria síkja.

$T = 0$ -nál, $\varphi = 0$, t idő alatt a C pont vt távolságra mozdul el, tehát $\operatorname{tg}\varphi = \frac{vt}{h}$,

következésképpen
$$\varphi = \operatorname{arctg} \frac{v}{h} t.$$

A pont kinematikájában követett módon bevezethetjük a forgó mozgást végző test skaláris szögsebességét és skaláris szöggyorsulását a következő módon:

$$\omega = \lim_{\Delta t \rightarrow 0} \frac{\Delta\varphi}{\Delta t} = \lim_{\Delta t \rightarrow 0} \frac{\varphi(t + \Delta t) - \varphi(t)}{\Delta t} = \frac{d\varphi}{dt} = \dot{\varphi}(\text{s}^{-1}),$$

$$\beta = \lim_{\Delta t \rightarrow 0} \frac{\Delta \omega}{\Delta t} = \lim_{\Delta t \rightarrow 0} \frac{\beta \omega(t + \Delta t) - \omega(t)}{t} = \frac{d\omega}{dt} = \ddot{\varphi} (\text{s}^{-2}).$$

A műszaki gyakorlatban az egyenletesen forgó géprészek forgássebességét gyakran nem a skaláris szögsebességgel, hanem a fordulatszámmal jellemzik.

A másodpercenkénti fordulatszám jele n , mértékegysége: s^{-1} . A szögsebesség és fordulatszám közötti összefüggés: $\omega = 2\pi n$. Használatos a nem SI-egység percenkénti fordulatszám is. A fix tengely körül forgó merev test bármely pontjának pályasebességét és gyorsuláskomponensét könnyen belátható módon így számíthatjuk ω, β és az R forgássugár ismeretében:

$$v = R\dot{\varphi} = R\omega, \quad a_e = R\ddot{\varphi} = R\beta, \quad a_n = R\dot{\varphi}^2 = R\omega^2 = v\omega.$$

A tömegpont és a forgó mozgás kinematikája között analógia áll fenn. Ezt világítja meg az alábbi táblázat:

A tömegpont mozgása	A merev test forgó mozgása
Állandó pályasebességű mozgás	Állandó szögsebességű forgó mozgás
$s = s_0 + ct$ $c \neq 0$: állandó	$\varphi = \varphi_0 + \omega t$, $\omega \neq 0$: állandó
$\dot{s} = v = c$	$\dot{\varphi} = \omega$
$\ddot{s} = a_e = 0$	$\ddot{\varphi} = \beta = 0$
Állandó pályagyorsulású mozgás	Állandó szöggyorsulású mozgás
$s = s_0 + ct + \frac{1}{2}a_e t^2$, c, a_e : állandó, $a_e \neq 0$	$\varphi = \varphi_0 + \omega t + \frac{1}{2}\beta t^2$ ω, β : állandó, $\beta \neq 0$
$\dot{s} = v = c + a_e t$,	$\dot{\varphi} = \omega + \beta t$,
$\ddot{s} = a_e$.	$\ddot{\varphi} = \beta$.

További hasonlóságokra is rámutathatnánk és megtárgyalhatnánk a forgó mozgással kapcsolatos kinematikai alapfeladatokat is. Matematikailag azonban ezek nem különböznek a tömegpont kinematikájában látottaktól.

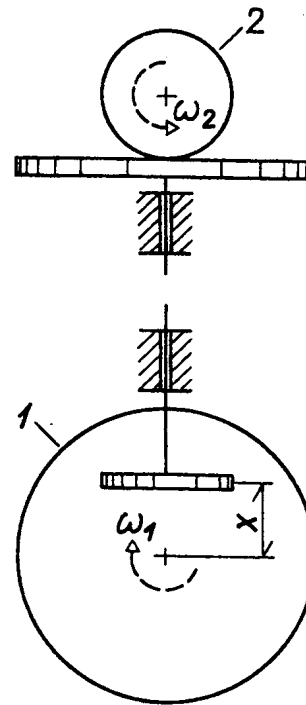
Végül megemlítjük, hogy megadható a szögsebesség és a szöggyorsulás vektorális értelmezése is.

34. Példa

A keretfűrész ún. előtoló-művének működésével kapcsolatos az alábbi probléma. A 176. ábrán látható, egymással csúszásmentes kapcsolatban lévő 1 és 2 jelű tárcsák szögsebessége ω_1 , ill. ω_2 .

Határozzuk meg:

- az $\omega_2 = \omega_2(x)$ szögsebességet, ha ω_1 állandó,
- az $\omega_1 = \omega_1(x)$ szögsebességet, ha ω_2 állandó.



176.ábra

Megoldás.

A kerületi sebességek egyenlőségéből:

$$\text{a) } \omega_1 x = R_2 \omega_2, \quad \underline{\underline{\omega_2 = \frac{\omega_1 x}{R_2}}}$$

$$\text{b) } \omega_1 x = R_2 \omega_2, \quad \underline{\underline{\omega_1 = \frac{R_2 \omega_2}{x}}}$$

35. Példa

Egy gyalugép tengelyének mozgásfüggvénye:

$\varphi = \omega t + k \sin \omega t$, ahol ω a géptengely átlagos szögsebessége, k állandó. A szögsebesség átlagértékétől való maximális eltérés $0,01 \omega$. Határozzuk meg a k állandót, valamint a szöggyorsulás szélső értékeit, ha a percnkénti fordulatszám $n = 3\,000 \frac{1}{\text{min}}$.

Megoldás.

$$\text{Az átlagos szögsebesség: } \omega = \frac{\pi n}{30} = 100\pi \frac{1}{\text{s}}.$$

A szögsebesség: $\dot{\varphi} = \omega + k \omega \cos \omega t = \omega(1 + k \cos \omega t)$, ennek legnagyobb értéke: $\omega(1 + k) = 1,01\omega$, $\underline{\underline{k = 0,01}}$.

A szöggyorsulás: $\ddot{\varphi} = k \omega^2 (-\sin \omega t)$.

$$\text{A maximum: } \underline{\underline{\ddot{\varphi}_{\max} = 100\pi^2 \frac{1}{\text{s}^2}}}, \quad \text{a minimum: } \ddot{\varphi}_{\min} = -100\pi^2 \frac{1}{\text{s}^2}.$$

3.10. Testek tehetetlenségi nyomatékai

A forgó mozgás kinematikájának tárgyalását egy a későbbiekben gyakran előforduló mennyiség vizsgálatával készítjük elő.

A TEHETETLENSÉGI NYOMATÉK FOGALMA

Valamely testnek egy tetszőleges x tengelyre vonatkozó tehetetlenségi nyomatéka a

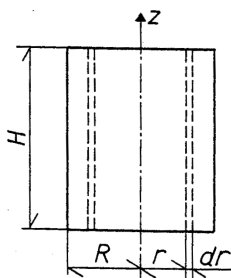
$$\Theta_x = \int_{(V)} r^2 dm \quad (\text{kgm}^2)$$

Skaláris mennyiség, ahol r a test dm tömegű elemének távolsága a tengelytől. Matematikailag a síkidom másodrendű nyomatékához hasonló fogalomról van szó, tehát egy olyan összeg határértékéről, melyben a test elemeinek Δm_i tömege és ezen elemekben felvett pontok tengelytávolságai négyzetének szorzata szerepel, miközben a felosztás minden határon túl finomodik s az integrálás a test teljes V térfogatára terjed ki.

Hasonlóan értelmezhető a koordináta-rendszer többi tengelyére, kezdőpontjára vagy koordináta-síkjára vonatkozó tehetetlenségi nyomaték is, pl. Θ_0 a kezdőpontra, Θ_{zz} az x, y síkra vonatkozó tehetetlenségi nyomaték:

$$\Theta_0 = \int_{(V)} (x^2 + y^2 + z^2) dm, \quad \Theta_{zz} = \int_{(V)} z^2 dm.$$

A tehetetlenségi nyomaték csak a test geometriai adataitól és tömegeloszlásától függ. A továbbiakban homogén testekkel foglalkozunk.



177.ábra

Példaképpen kiszámítjuk egy R sugarú, H magasságú, ρ sűrűségű forgáshengernek a forgástengellyel egybeeső z koordináta-tengelyre vonatkozó tehetetlenségi nyomatékát. A testet közös tengelyű forgáshenger felületekkel r , illetve $r+dr$ sugarú „csövekre” osztjuk.

(177. ábra). Egy ilyen elem tehetetlenségi nyomatéka

$$dm \cdot r^2 = \rho 2r\pi \cdot dr \cdot Hr^2.$$

Az elemek tehetetlenségi nyomatékait összegezve a keresett érték:

$$\Theta_z = \rho 2\pi H \int_0^R r^3 dr = \rho 2\pi H \frac{R^4}{4},$$

vagy a test m tömegével kifejezve:

$$\underline{\underline{\Theta_z = \frac{1}{2} mR^2.}}$$

A fontosabb restek tehetetlenségi nyomatékát táblázatok tartalmazzák.

Az anyagi testnek egy térbeli derékszögű koordináta-rendszer két-két tetszőleges síkjára vonatkozó centrifugális vagy deviációs nyomatékán a

$$\Theta_{xy} = \int_{(V)} xy dm, \quad \text{ill.} \quad \Theta_{xz} = \int xz dm, \quad \Theta_{yz} = \int yz dm \quad (\text{m}^2\text{kg})$$

mennyiséget értjük. Ez – ellentétben a tengelyre vonatkozó tehetetlenségi nyomatékkal – negatív is lehet.

Az inerciasugár értelmezése: ha egy test tömege m, valamely tengelyre (síkra) vonatkozó tehetetlenségi nyomatéka Θ , akkor az inerciasugár az az i távolság, melyre

$$\Theta = mi^2.$$

TEHETETLENSÉGI NYOMATÉKKAL KAPCSOLATOS TÉTELEK

A síkidom másodrendű nyomatékai s a testek tehetetlenségi nyomatékai között fennálló analógia kitűnik az alábbi tételekből is.

Tétel: Egy test valamely tengelyre vonatkozó tehetetlenségi nyomatéka egyenlő két olyan síkra vonatkozó tehetetlenségi nyomaték összegével, melyek egymást a megadott tengelyben metszik, egymásra merőlegesek, de egyébként tetszőleges helyzetűek. A síkidomok másodrendű nyomatékaira vonatkozó Steiner-tételnek a testek esetében a következő tételek felelnek meg:

- a) Ha egy testnek egy tetszőleges S síkra vonatkozó tehetetlenségi nyomatéka Θ_S , a síkkal párhuzamos s a test súlypontján átmenő Σ síkra Θ_Σ , továbbá a két sík egymástól mért távolsága d és a test tömege m, akkor

$$\Theta_S = \Theta_\Sigma + md^2.$$

Két párhuzamos tengelyre, melyek közül az egyik súlyponti tengely, hasonló tétel igaz.

- b) Ha egy testnek egy x,y,z derékszögű koordináta-rendszer két koordináta-síkjára vonatkozó deviációs nyomatéka Θ_{xy} , a test súlypontjában felvett párhuzamos helyzetű ξ,η,ζ koordináta-rendszerre vonatkozó deviációs nyomatéka $\Theta_{\xi\eta}$, akkor

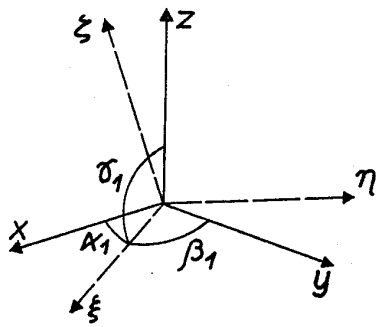
$$\Theta_{xy} = \Theta_{\xi\eta} + mx_S y_S \quad (x_S, y_S : \text{súlypont-koordináták}).$$

FŐTENGELEK

Ha egy térbeli koordináta-rendszerre vonatkozólag $\Theta_{xy} = 0$, $\Theta_{yz} = 0$ a tengelyeket a test főtehetetlenségi tengelyeinek, a hozzájuk tartozó $\Theta_x, \Theta_y, \Theta_z$ értékeket főtehetetlenségi nyomatékoknak nevezik.

Kitüntetett szerepük van a súlyponti főtehetetlenségi nyomatékoknak. Ezek között szerepel a koordináta-rendszer kezdőpontján átmenő tengelyekre számítható tehetetlenségi nyomatékok

közül a legkisebb és a legnagyobb. A főtehetetlenségi tengelyek meghatározását megkönnyíti az a tény, hogy ha egy sík a testnek szimmetria síkja, akkor a sík tartalmaz két főtehetetlenségi tengelyt⁵, a harmadik főtehetetlenségi tengely merőleges a síkra. Ha x, y, z főtehetetlenségi rendszer ξ, η, ζ pedig egy azonos kezdőpontú derékszögű koordináta-rendszer, akkor a 178. ábra jelöléseivel:



178.ábra

$$\Theta_{\xi} = \Theta_x \cos^2 \alpha_1 + \Theta_y \cos^2 \beta_1 + \Theta_z \cos^2 \gamma_1.$$

Az Új tengely-rendszerre vonatkozólag

$$\Theta_{\xi\eta} = -\Theta_x \cos \alpha_1 \cos \alpha_2 - \Theta_y \cos \beta_1 \cos \beta_2 - \Theta_z \cos \gamma_1 \cos \gamma_2,$$

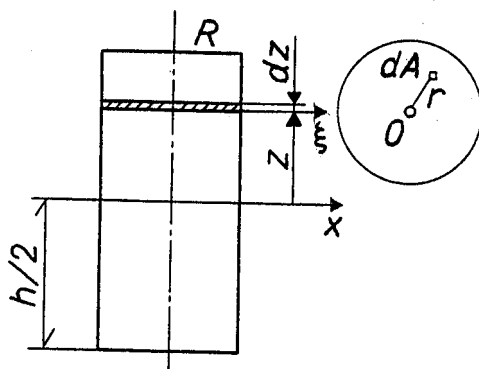
ahol pl. $\alpha_2, \beta_2, \gamma_2$ az η tengelyt meghatározó szögek.

36. Példa

Határozzuk meg egy R sugarú, h magasságú henger tehetetlenégi nyomatékát egy a henger tengelyére merőleges szimmetria-tengelyre.

Megoldás.

A henger z és $z+dz$ koordinátájú keresztmetszetei által határolt szeletében (179. ábra) vegyünk fel egy dA alapterületű részecskét. Ennek tehetetlenégi nyomatéka:



179.ábra

$$dA \, dz \, \rho r^2 \quad (\rho : \text{sűrűség}).$$

A szelet tehetetlenégi nyomatéka

0-

ra:

$$\Theta_0^{sz} = \int dA dz \rho r^2 = \rho dz \int r^2 dA = \rho dz I_0 = \rho dz \frac{R^4 \pi}{2},$$

$$\xi - \text{re: } \Theta_{\xi}^{sz} = \rho dz l_{\xi} = \rho dz \frac{R^4 \pi}{4}.$$

A szelet tehetetlenségi nyomatéka x-re, STEINER-tétel:

$$\Theta_x^{sz} = \rho dz \frac{R^4 \pi}{4} + R^2 \pi dz p z^2.$$

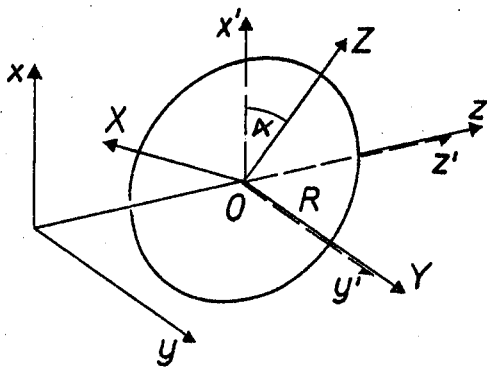
A teljes henger tehetetlenségi nyomatéka:

$$\Theta_z = 2 \int_0^{h/2} R^2 \pi \rho \left(\frac{R^2}{4} + z^2 \right) dz = 2 R^2 \pi \rho \left(\frac{R^2 h}{4} + \frac{h^3}{6} \right) = \underbrace{R^2 \pi h \rho}_m \left(\frac{R^2}{4} + \frac{h^2}{3} \right),$$

ha a henger tömege m,

$$\Theta_x = \frac{m^2}{12} (3R^2 + h^2).$$

37. Példa



180.ábra

Számítsuk ki egy ferdén felerősített – körlemeznek vehető – körfűrészlap Θ_{xz} tehetetlenségi nyomatékát a vázolt koordináta rendszerre vonatkozólag (180. ábra) Adott a fűrészlap R sugara és G súlya, valamint az α szög.

Megoldás

$$\Theta_{xz} = \Theta_{x'z'} + m x_0 z_0 = \Theta_{x,z}, \quad , \text{ mert } x_0=0.$$

$\Theta_{x,z}$, az 0 kezdőpontú, XYZ főtehetetlenségi

rendszerre vonatkozó tehetetlenségi nyomatékkal kifejezhető:

$$\begin{aligned} \Theta_{xz} &= \Theta_{x'z'} = -\Theta_X \cos(90^\circ - \alpha) \cos(180^\circ - \alpha) - \Theta_Z \cos \alpha \cos(90^\circ - \alpha) = \\ &= \Theta_Z \sin \alpha \cos \alpha - \Theta_X \cos \alpha \sin \alpha, \end{aligned}$$

$$\Theta_{xz} = \frac{\sin 2\alpha}{2} (\Theta_X - \Theta_Z). \quad \text{Mivel} \quad \Theta_X = \frac{G R^2}{g \cdot 2}, \quad \Theta_Z = \frac{G R^2}{g \cdot 4}, \quad \Theta_X - \Theta_Z = \frac{G R^2}{g \cdot 4},$$

$$\underline{\underline{\Theta_{xz} = \frac{G R^2}{g 8} \sin 2\alpha.}}$$

3.11. A forgó mozgás kinetikája

A FORGÓ MOZGÁS ALAPEGYENLETE

Írjuk fel a perdület-tételt egy – mondjuk a z tengely körül forgó testre. Legyen a test skaláris szögsebessége az adott pillanatban ω , a testre ható (külső) erőrendszer nyomatéka a z tengelyre M_z .

$$\text{Ekkor } \Pi_z = \int r_i dm_i v_i = \int r_i dm_i r_i \omega = \omega \int r_i^2 dm = \omega \Theta_z$$

A perdület-tétel értelmében:

$$\frac{d\Pi_z}{dt} = \frac{d\omega\Theta_z}{dt} = \Theta_z \frac{d\omega}{dt} = \Theta_z \beta = M_z.$$

A jobb oldalon álló egyenlőség a forgó mozgás alapegyenlete. Az alapegyenlet azt mutatja, hogy állandó szögsebességű forgás csak akkor jön létre, ha a külső erők nyomatéka a forgástengelyre zérus, különben a test gyorsulva forog. Ezt a követelményt a gyakorlatban nem lehet szigorúan betartani, ezért ω nem teljesen állandó, hanem valamilyen ω_{\min} és ω_{\max} között ingadozik, a közepes szögsebesség

$$\omega_k = \frac{\omega_{\min} + \omega_{\max}}{2}.$$

A szögsebesség szélső értékei különbségének és a közepes szögsebességnek a hányadosa

$$\delta = \frac{\omega_{\max} - \omega_{\min}}{\omega_k}$$

A forgás egyenlőtlenségi foka. Megmutatható, hogy ez a forgó test tehetetlenségi nyomatékának növelésével, tetszőlegesen szűk határok közé szorítható.

Miként a kinematika alapegyenletét, a forgó mozgás alapegyenletét is két feladattípus megoldására használhatjuk fel:

1. Ismert a forgó mozgást leíró $\varphi = \varphi(t)$ függvény, keressük a testre ható erők nyomatékát.
2. Ismert a testre ható erőnek a forgástengelyre vonatkozó nyomatéka, keressük a $\varphi = \varphi(t)$ függvényt.

Ha a tömegpont mozgására felírható $F_e m \frac{dv}{dt} = ma_e$ egyenlettel az $M_z = \Theta_z \frac{d\omega}{dt} = \Theta_z \beta$ egyenletet összehasonlítjuk, megállapítható, hogy a forgó mozgás kinematikájában tapasztalt analógia tovább építhető. Ugyanis például az

F_e	erőknek	M_z	forgatónyomaték
M	tömegnek	Θ_z	tehetetlenségi nyomaték
a_e	pályagyorsulásnak	β	szöggyorsulás felel meg.

KINETIKAI TÉTELEK

A forgó mozgást végző test kinetikai energiája a következőképpen számítható Θ és ω ismeretében:

$$E_K = \int \frac{1}{2} dm_i v_i^2 = \frac{1}{2} \int dm_i (r_i \omega)^2 = \frac{1}{2} \omega^2 \int dm_i r_i^2, \quad E_K = \frac{1}{2} \Theta \omega^2$$

A forgó mozgás alapegyenletéből is levezethetők – a korábban látott tételekkel analóg – további kinetikai tételek.

Tétel (munkatétel): ha forgó mozgást végző merev testnek a forgástengelyre vonatkozó tehetetlenségi nyomatéka Θ , t_1 időpontban szögsebessége ω_1 , t_2 időpontban szögsebessége ω_2 , s a testre ható erők munkája a mondott időközben W , akkor

$$\frac{1}{2}\Theta\omega_2^2 - \frac{1}{2}\Theta\omega_1^2 = W.$$

A testre ható erők által végzett munka forgó mozgás esetén a következőképpen számítható: ha az erők a tengelyre vonatkozó nyomatéka $m=M(\varphi)$ és t_1 időpontban $\varphi=\varphi_1$, t_2 -ben $\varphi=\varphi_2$ akkor

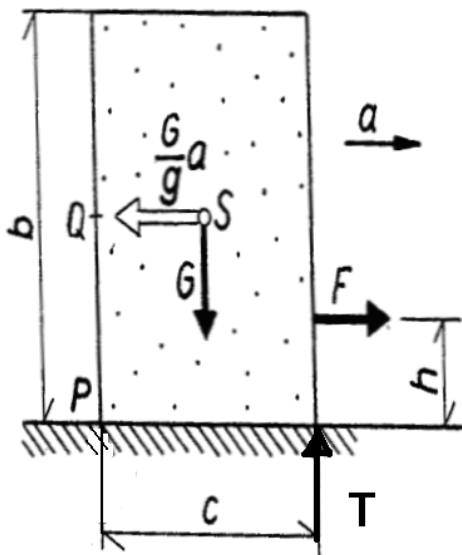
$$W = \int_{\varphi_1}^{\varphi_2} M(\varphi) d\varphi.$$

Olykor előnyösen használható a perdület-tétel következő alakja: ha a merev test forgástengelyére vonatkozó tehetetlenségi nyomatéka Θ , t_1 , illetve t_2 időpontban szögsebessége ω_1 illetve ω_2 s a külső erők nyomatéka $M=M(t)$, akkor

$$\Theta\omega_2 - \Theta\omega_1 = \int M(t) dt.$$

FORGÓ TESTEK CSAPNYOMÁSAI

A forgó test tengelye és a csapágyak között nagy erők léphetnek fel. A fellépő hatások a test



181.ábra

geometriai adataitól, tömeg-eloszlásától, ill. a testnek a forgástengelyhez viszonyított helyzetétől függenek. Hogy e tényről pontosabb képet kapjunk, meg kell ismerkedni a probléma tárgyalását megkönnyítő D' ALEMBERT-elvvel. Írjuk a kinetika alapegyenletét $\bar{F} - m\bar{a} = 0$ alakba. Ha a tömegpont tömegének és negatív gyorsulásának szorzatát erőnek tekintjük (D' ALEMBERT-féle erő, inercia erő), s bevezetjük az $\bar{F}^x = -m\bar{a}$ jelölést, akkor az $\bar{F} + \bar{F}^x = 0$ egyenlethez jutunk. Ehhez a formailag sztatikai egyenlethez a következő értelmezés fűzhető: a dinamikai problémák sztatikai

problémákra vezethetők vissza, ha a vizsgált testekre ható valóságos erőkhöz csatoljuk a D'ALEMBERT-féle erőket s az így kapott egyensúlyi erőrendszert tekintjük (dinamikai egyensúly). Az elv gyakorlati alkalmazását az alábbi példán mutatjuk be: vízszintes sima talajra G súlyú, ismert méretű hasábot helyezünk (181. ábra). Kérdés, adott h magasságban

maximálisan mekkora vízszintes F erő hathat a hasábra a billenés veszélye nélkül. Az erő a hasáb szimmetria síkjában hat, $h < \frac{b}{2}$. A testre ható valóságos erők a billenés küszöbén a következők: G , F és a talaj által a hasábra gyakorolt T támaszerő, mely P -ben hat.

A D'ALEMBERT-erő: $\frac{G}{g}a$.

A valóságos erőkből és az inercia erőből álló erőrendszer egyensúlyban van, tehát nyomatéka bármely pontra zérus.

Nyomatékvonatkoztatási pontnak Q -t véve:

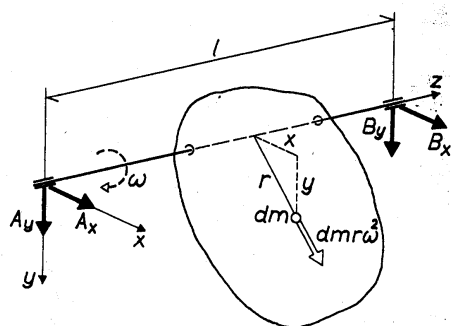
$$F\left(\frac{b}{2} - h\right) - G\frac{c}{2} = 0, \quad \underline{\underline{F = \frac{c}{b - 2h}G.}}$$

A hasáb gyorsulását szintén sztatikai egyenlettel nyerhetjük:

$$F - \frac{G}{g}a = 0, \quad \underline{\underline{a = \frac{c}{b - 2h}g.}}$$

Ezek után alkalmazzuk a D'ALEMBERT-féle elvet a forgó test csapnyomásainak meghatározására. Teljes általánosságban e helyen nem tárgyaljuk a kérdést, csupán azt az esetet tekintjük, mikor a test egyenletesen forog egy vízszintes tengely körül. Az általános eset – mikor $\omega \neq 0$ és $\beta \neq 0$ – hasonlóan oldható meg. Tekintsük a 182. ábrán látható, vízszintes tengely körül állandó szögsebességgel forgó testet. Célunk meghatározni a vázolt

koordináta rendszerben a csapágyerők A_x , A_y , B_x , B_y komponenseit ($A_z = B_z = 0$).



182.ábra

A test minden egyes dm tömegű részéhez csatoljuk az $r\omega^2 dm$ nagyságú inercia erőt. Az inercia erő komponensei

$$r\omega^2 dm \frac{x}{r} = \omega^2 x dm \quad \text{és} \quad r\omega^2 dm \frac{y}{r} = \omega^2 y dm.$$

A csapágyerők és az inercia erők egyensúlyi erőrendszert alkotnak, tehát igazak a következők:

$$A_x + B_x + \omega^2 \int x dm = 0,$$

$$A_y + B_y + \omega^2 \int y dm = 0,$$

$$-IB_y - \omega^2 \int yz dm = 0,$$

$$IB_x + \omega^2 \int xz dm = 0.$$

Figyelembe véve, hogy

$$\int x dm = mx_s, \quad \int y dm = my_s, \quad \int yz dm = \Theta_{yz}, \quad \int xz dm = \Theta_{xz},$$

(itt x_s, y_s a test súlypontjának koordinátái, m a test tömege), a következő egyenletrendszerre jutunk:

$$A_x + B_x = -\omega^2 mx_s,$$

$$A_y + B_y = -\omega^2 my_s,$$

$$B_y = -\frac{\omega^2}{I} \Theta_{yz},$$

$$B_x = -\frac{\omega^2}{I} \Theta_{xz}.$$

Ebből az egyenletrendszerből a forgás következtében fellépő csapágyreakciók kiszámíthatók

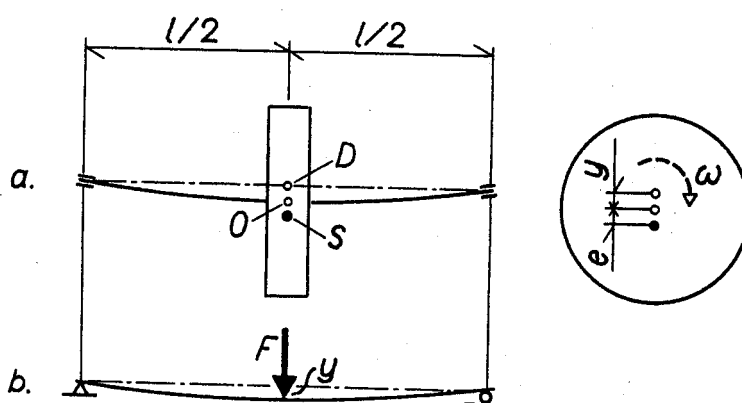
Abban az esetben mikor $x_s = y_s = 0$: $A_x = -B_x$ és $A_y = -B_y$.

Ilyenkor a csapágyreakciók erőpárt alkotnak, melynek síkja együtt forog a testtel, s ezért a csapágyakat periodikusan változó erő terheli, ami káros hatásokkal jár.

Ha azonban $x_s = 0$ és $y_s = 0$, s ugyanakkora még $\Theta_{xz} = \Theta_{yz} = 0$, az inercia erők következtében nem ébrednek csapágyerők. Ilyenkor a forgástengely egybeesik a test valamelyik főtehetetlenségi tengelyével. Általában egy főtehetetlenségi tengelye körül forgó test esetében a csapágyakban a forgás következtében nem ébred reakcióerő, illetve a reakciók ugyan akkorák, mint nyugalom esetén.

KRITIKUS FORDULATSZÁM

A forgó mozgást végző test lehetséges maximális szögsebességét nem csupán a test elhelyezkedése, tömegeloszlása befolyásolja, hanem a forgástengely geometriai és szilárdsági adatai is. Legyenek például a 183. ábrán látható tárcsa forgástengelyének adatai: l , I , E és legyen a tengely közepén elhelyezett m tömegű tárcsa O geometriai középpontjától e .



183.ábra

Állandó ω szögsebességű forgás esetén a tengely kis mértékben meggörbül, a geometriai forgástengely és a tárcsa középsíkjának D dőféspontja valamint a valóságos forgástengely O dőféspontjának y távolsága állandósul. A D , S , O pontokat egy egyenesbe esőnek vesszük, tehát a súlypont egy $R=y+e$ sugarú körön mozog.

A súlypontra ható erő $F=mR\omega^2$. Ezt az erőt a rugalmas anyagú forgástengely szolgáltatja. A tengely rugalmas tulajdonságát jellemezhetjük az ún. rugómerevséggel. Ez a rugót terhelő F erő és az előálló y lehajlás hányadosa: $s = \frac{F}{y}$. Ha példánkban a tengelyt kéttámaszú tartónak

vesszük, akkor a rugómerevség: $s = F: \frac{Fl^3}{48EI}$, $s = \frac{48EI}{l^3}$.

Ekkor tehát a tárcsára ható erő $ys = mR\omega^2 = m(y+e)\omega^2$, amiből

$$y = \frac{\omega^2}{\frac{s}{m} - \omega^2} e.$$

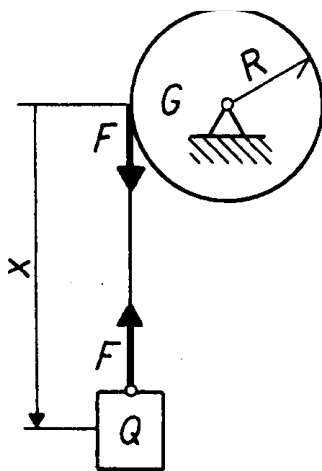
Ami látható, y függ a szögsebességtől. Ha $\omega^2 \rightarrow \frac{s}{m}$, $y \rightarrow \infty$, vagyis a tengely meg nem engedhető mértékben deformálódik.

Az $\omega = \sqrt{\frac{s}{m}}$ érték a kritikus szögsebesség, ill. a neki megfelelő fordulatszám a kritikus fordulatszám.

Mivel gyártási hibára, bizonyos mértékű e külpontosságra mindig számíthatunk, a kritikus fordulatszámot el kell kerülni.

38. Példa

Adott a 184. ábrán látható G súlyú, R sugarú henger, s a hengerre csévélte súlytalan fonálhoz kapcsolt Q súlyú teher. A henger fix forgástengelye körül szabadon elfordulhat.



184.ábra

Számítsuk ki, hogy mekkora a henger szöggyorsulása, ha a rendszert magára hagyjuk, s mekkora a teher sebessége x nagyságú süllyedés után!

Megoldás.

Írjuk fel a mozgásegyenleteket a két testre külön-külön! A teherre ható erők: Q súlyerő, F fonálerő. $\ddot{x} = a$ jelöléssel

$$Q - F = \frac{Q}{g} a.$$

A hengerre ható erők: F , G és a csapágyerő. Az alapegyenlet:

$$FR = \frac{1}{2} \frac{G}{g} R^2 \beta.$$

A harmadik egyenlet a pályagyorsulás és a szöggyorsulás közti kapcsolatot fejezi ki:

$$\beta R = a.$$

Ezután F -et kiküszöbölve és a -t β -val kifejezve nyerjük a szöggyorsulást:

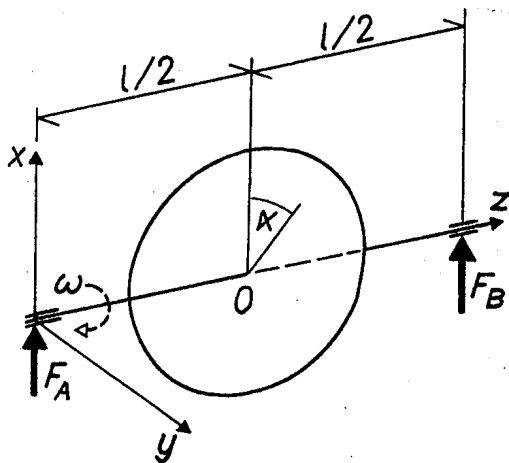
$$\beta = \frac{2Q}{2Q+G} \frac{g}{R}$$

A teher gyorsulása, $a = R\beta = \frac{2Q}{2Q+G}g$ állandó, így a sebesség

$$v = \sqrt{2ax}, \quad v = \sqrt{\frac{Q}{Q+\frac{1}{2}G}} 2gx. \text{ Ez az eredmény munkatétellel könnyebben megkapható.}$$

39. Példa

Számítsuk ki egy ferdén felerősített körfűrészlap esetén a forgásból származó reakciókat. A fűrészlap a forgástengellyel $90^\circ - \alpha$ szöget zár be, a fűrészlap tömege m , sugara R , a szögsebesség ω (185. ábra)



185.ábra

Megoldás.

$$F_A = -F_B = \frac{\omega^2}{1} \Theta_{xz}. \text{ Mint a 37. példában}$$

$$\text{láttuk, } \Theta_{xz} = m \frac{R^2}{8} \sin 2\alpha, \text{ tehát}$$

$$\underline{\underline{F_A = -F_B = m \frac{R^2}{8} \frac{\omega^2}{1} \sin 2\alpha.}}$$

Hogy képet alkossunk a dinamikus reakciók nagyságáról, vegyük a következő adatokat: $m = 1$

$$= \text{kg}, \quad R = 0,4 \text{ m}, \quad l = 1 \text{ m}, \quad \alpha = 1^\circ, \quad n = 4\,000 \frac{1}{\text{min}},$$

$$F_A = 1 \frac{0,4^2}{8} \left(\frac{400\pi}{3} \right)^2 0,035, \quad \underline{\underline{F_A = 122,8 \text{ N}.}}$$

A sztatikus reakció: $\underline{\underline{F'_A = \frac{mg}{2} = 4,91 \text{ N}}}$. A dinamikus reakció ennek 25-szöröse.

3.12. A síkmozgás kinematikája

A MEREV TEST MOZGÁSAI

A merev test kinematikáját kevésbé részletesen tárgyaljuk, mint az anyagi pont kinematikáját. Ennek oka egyrészt a témakör bonyolultsága, másrészt az a tény, hogy a gyakorlatban rendszerint csak forgó-, csavar- és síkmozgással találkozunk. Akkor mondjuk, hogy a test mozog, ha van mozgó pontja. A test mozgás közben a tér ugyanazon részét foglalja el s esetleg végtelen sok pontja helyben marad.

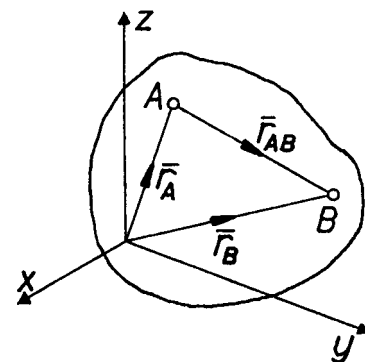
Tétel: a merev test mozgását meghatározza három, nem egy egyenesbe eső pontjának mozgása.

Bizonyítás: legyen a három pont A, B, C a test egy tetszőleges újabb pontja P, és P-nek a három pont által kifeszített síkra vonatkozó talppontja T. Legyen a testtel együtt mozgó három pont egy további helyzete A', B', C' és a talppont új helyzete T'. Ha figyelembe vesszük a test merevségét és azt, hogy P-ből az ABC háromszöget ugyanolyan körüljárásúnak látjuk, mint P'-ből az A'B'C' háromszöget, akkor P' a PT távolságnak T'-ből történő (A'B'C' síkra merőleges) felmérésével egyértelműen meghatározható.

Ennek alapján a test mozgásának vizsgálata helyett elegendő egy háromszög mozgásának vizsgálatára szorítkozni.

A merev test legfontosabb mozgástípusai – a már megismert forgó mozgáson kívül – a következők.

Transzláció a merev test mozgása, ha egyenesei mozgás közben párhuzamosak maradnak eredeti helyzetükkel.



186.ábra

Tétel: a transzlációs mozgást végző test tetszőleges A és B pontjának pályagöreiből egybevágó görbék, és minden pillanatban $\vec{v}_A = \vec{v}_B$, $\vec{a}_A = \vec{a}_B$ (e vektorok azonban az időben változhatnak).

Bizonyítás: Legyen az A-ból B-be mutató vektor \vec{r}_{AB} (186. ábra).

Ez a vektor a test merevsége és a transzláció definíciójának értelmében állandó, ennél fogva $\vec{r}_B = \vec{r}_A + \vec{r}_{AB}$, tehát B pályája A pályájának \vec{r}_{AB} vektorral történő eltolásával nyerhető. A tétel másik része így adódik:

$$\bar{v}_B = \dot{\bar{r}}_B = \dot{\bar{r}}_A + \dot{\bar{r}}_{AB} \quad \text{s mivel} \quad \dot{\bar{r}}_{AB} = 0,$$

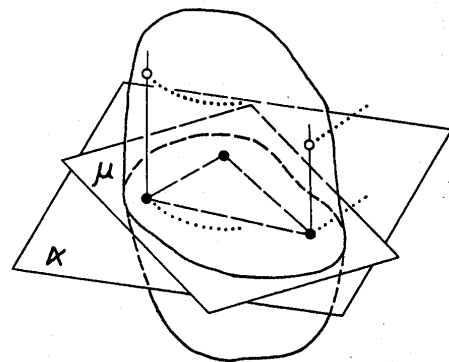
$$\bar{v}_B = \dot{\bar{r}}_A = \bar{v}_A. \quad \text{Újabb deriválással}$$

$$\bar{a}_B = \bar{a}_A.$$

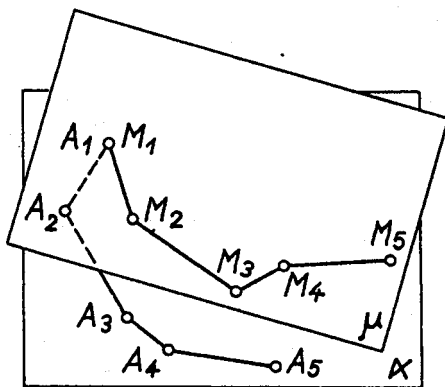
Ha mozgás közben a merev test egyetlen pontja fix, akkor a test mozgása gömbmozgás (pörgettyűmozgás).

SÍKMOZGÁS

A merev test síkmozgását az jellemzi, hogy mozgás közben a test három pontja egy rögzített síkban, az alapsíkban mozog. Célszerű megkülönböztetni a fix α alapsíkot és a mozgó háromszögnek a síkját, az α -val egybeeső μ mozgó síkot. Az alapsíkban mozgó pontok pályái általában különböznek, de a testnek azon pontjai, melyek egy az alapsíkra merőleges egyenesre esnek, egybevágó síkgörbéket írnak le (187. ábra). Mint láttuk, a test mozgásának vizsgálata helyett foglalkozhatunk csupán az alapsíkban mozgó háromszög mozgásával, sőt



187.ábra

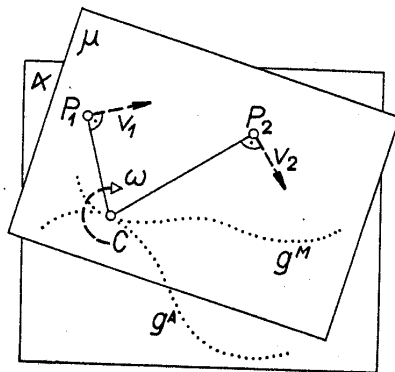


188.ábra

egy A_1, A_2, \dots, A_n töröttvonalat (188. ábra) s a μ mozgó síkban egy M_1, M_2, \dots, M_n

töröttvonalat. A két töröttvonal megfelelő szakaszai legyenek egyenlők (pl. $\overline{A_2A_3} = \overline{M_2M_3}$), de a törésszögek különbözhetnek. Helyezzük a μ síkot úgy az α síkra, hogy az M_1 és A_1 pontok fedésbe kerüljenek. Ezután forgassuk el a μ síkot a fedésben lévő M_1, A_1 pontok körül valamilyen ω_1 szögsebességgel addig, míg M_2 egybe nem esik A_2 -vel. Ezután a fedésbe került M_2, A_2 pontok körül forgassunk ω_2 szögsebességgel, míg M_3 fedésbe nem kerül A_3 -al és így tovább.

Ha most a két töröttvonalat minden határon túl finomítjuk oly módon, hogy a megfelelő szakaszok továbbra is egyenlők és a szakaszok legnagyobbika is zérushoz tart, akkor az előbbi töröttvonalak helyett egy g^A és egy g^M görbét nyerünk s a síknak az α síkon történő mozgása úgy megy végbe, hogy g^M (csúszás nélkül) legördül a g^A görbén. A két görbe pillanatról pillanatra más- más pontban érintkezik egymással, s válik egy végtelenül rövid ideig tartó mozgás centrumává (momentán centrum). A μ sík tetszőleges pontjának



189.ábra

sebességét a pillanatnyi ϖ szögsebességgel történő forgás alapján számíthatjuk. A 189. ábrán például a pillanatnyilag érvényes C centrum körül történik a forgás. A C pont pillanatnyi sebessége zérus, a mozgó sík pillanatnyi szögsebessége ϖ . A P_1 pillanatnyi \bar{v}_1 sebessége merőleges $\overline{CP_1}$ -re, iránya ϖ -nak megfelelő, $\bar{v}_1 = \overline{CP_1}\varpi$. Hasonlóan számítható a mozgó sík bármely további pontjának sebessége. Az elmondottak alapján C neve: sebességpólus (momentán centrum). A g^A és g^M görbék úgy is

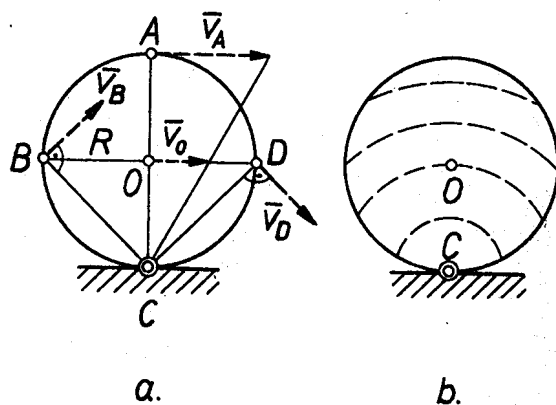
származtathatók, hogy a sebességpólust minden pillanatban megjelöljük az álló és a mozgó síkon.

Az álló síkon kijelölt sebességpólusok összessége (g^A) az álló pólusgörbe, a mozgó síkon megjelölt sebességpólusoké (g^M) a mozgó pólusgörbe. Ezek általában nem egybevágó görbék. Ha a sík P_1 és P_2 pontjának különböző irányú sebességét ismerjük egy adott pillanatban és van sebességpólus, akkor azt az ábrán látható módon a sebességvektorokra állított merőlegesek metszéspontjaként kapjuk. Megjegyezzük, hogy a síkmozgás csak az elmozdulások és sebességek szempontjából fogható fel elemi forgó mozgások egymásutánjának, a gyorsulások szempontjából nem.

Bizonyítható, hogy minden sebességpólussal rendelkező mozgás előállítható a mozgó pólusgörbének az álló pólusgörbén történő legördítésével, s hogy ez az előállítás egyértelmű. Más szóval: egy adott mozgáshoz csak egy meghatározott g^A , g^M görbepár tartozik. Az eddigiek szemléltetése végett tekintsük egy gördülő kerék mozgását, mint síkmozgást (190.ábra)!

A pólusgörbék: a talajt képviselő egyenes és a kerék határoló vonala. Sebességpólus: a kerék középpontjának állandó pályasebessége v_0 , a kerék sugara R , a kerék pillanatnyi

szögsebessége $\omega = \frac{v_0}{R}$. Az ábra feltünteti a sebesség változását egy átmérő mentén, valamint



190.ábra

az egyenlő pályasebességű pontokat.

(190/b. ábra). Most kapunk választ arra a kérdésre, hogy a ciklois mozgás sebességvektora hogyan határozható meg. A kerék B pontjának ciklois-mozgásához tartozó v_b sebességvektor merőleges BC egyenesre,

$$v_b = \overline{BC}\omega = \overline{BC} \frac{v_0}{R}. \text{ Síkmozgást végző}$$

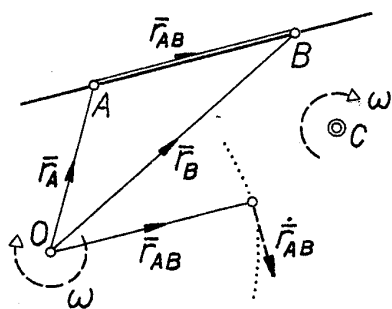
testek kinematikai vizsgálatánál

hasznos az alábbi

Tétel: ha a sebességpólussal rendelkező mozgás során a mozgó sík pillanatnyi szögsebessége ω , egy A pontjának sebessége v_A , valamely B pontjának sebessége ugyanazon pillanatban v_B , továbbá v_{AB} , egy \overline{AB} -ral egyenlő, kezdőpontja körül ω szögsebességgel forgó vektor végpontjának sebessége, akkor

$$\vec{v}_B = \vec{v}_A + \vec{v}_{AB}.$$

Bizonyítás



191.ábra

A 191. ábra jelöléseivel

$$\vec{r}_B = \vec{r}_A + \vec{r}_{AB}, \vec{v}_B = \vec{v}_A + \vec{v}_{AB}.$$

Az $\dot{\vec{r}}_{AB}$ meghatározása végett toljuk el az \vec{r}_{AB} vektort a koordináta rendszer 0 kezdőpontjába. A mozgás során az eltolt \vec{r}_{AB} végpontja egy AB sugarú körön mozog, $\dot{\vec{r}}_{AB}$ ennek az ω szögsebességű körmozgásnak a sebessége,

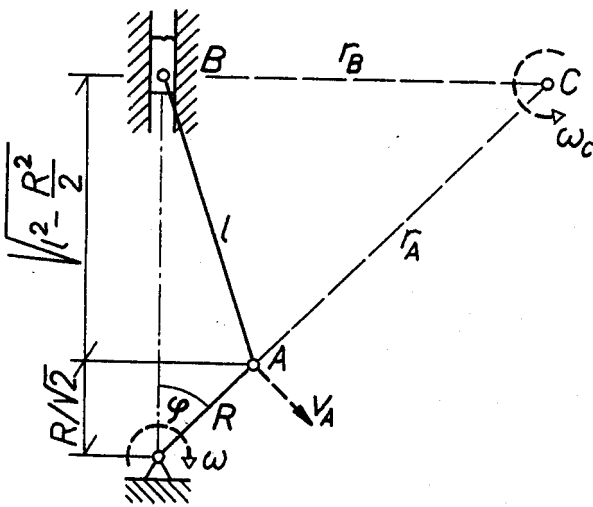
mely – merőleges AB-re, - nagysága $\overline{AB} \cdot \omega$, irányát a sebességpólus körüli forgásmód szabja meg. A tételben szereplő jelöléssel tehát $\vec{v}_B = \vec{v}_A + \vec{v}_{AB}$.

40. Példa

Határozzuk meg a 192. ábrán vázolt keretfűrész hajtórúdjának sebességpólusát, pillanatnyi szögsebességét és B pontjának sebességét a vázolt helyzetben.

$$R = 0,4 \text{ m}, \quad l = 2 \text{ m}, \quad \omega = 4\pi \frac{1}{\text{s}},$$

$$\varphi = 45^\circ.$$



192.ábra

Megoldás.

A és B pontban a sebességvektorok állása ismert, a sebességvektorokra állított merőlegesek metszéspontja szolgáltatja a pillanatnyilag érvényes C sebességpólust. Ha a C körüli pillanatnyi forgás szögsebessége ω_C , akkor

$$\omega_C r_A = R\omega, \quad \omega_C = \frac{R}{r_A} \omega.$$

Az ábráról leolvasható, hogy

$$r_A = \sqrt{2} \sqrt{l^2 - \frac{R^2}{2}} = \sqrt{2l^2 - R^2},$$

Tehát

$$\omega_C = \frac{R}{\sqrt{2l^2 - R^2}} \omega = 1,8 \frac{1}{\text{s}}.$$

$$v_B = r_B \omega_C,$$

$$r_B = \frac{R}{\sqrt{2}} + \sqrt{l^2 - \frac{R^2}{2}},$$

$$v_B = \frac{R + \sqrt{2l^2 - R^2}}{\sqrt{2}} \cdot \frac{R}{\sqrt{2l^2 - R^2}} = \underline{\underline{v_B = 4,07 \text{ m/s.}}}$$

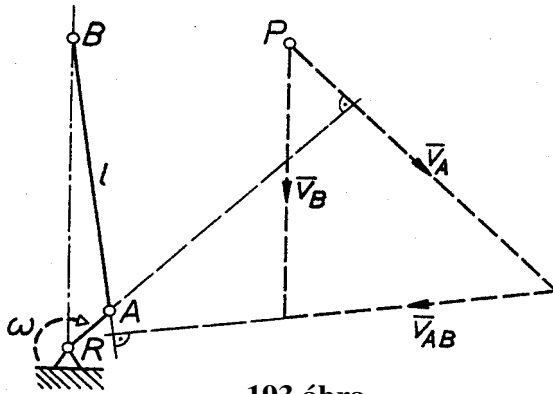
41. Példa

Állapítsuk meg az előbbi példában szereplő keretfűrész B pontjának sebességét szerkesztéssel:

Megoldás.

A $\bar{v}_B = \bar{v}_A + \bar{v}_{AB}$ vektoregyenlettel kijelölt utasításokat kell végrehajtani.

rajzmérték: 1 cm $\hat{=}$ 0,5 m
sebességmérték: 1 cm $\hat{=}$ 1 m/s



193.ábra

Mérjük fel $\bar{v}_A - t$ egy tetszőleges P pontból, egy alkalmas választott mérték alapján (193. ábra)! $v_A = R\omega = 0,4 \cdot 4\pi = 5,03 \text{ m/s}$. $\bar{v}_{AB} - t$ az imént nyert vektorvégponthoz kell fűzni. \bar{v}_{AB} hosszát ugyan nem ismerjük, de tudjuk, hogy állása merőleges AB-re. Mivel \bar{v}_B állása ugyancsak ismert, \bar{v}_{AB} és \bar{v}_B közös végpontját a P-ből húzott, ismert állású egyenesek metszéspontja szolgáltatja.

A vektorábrából: $v_B = 4,08 \text{ m/s}$. A rúd szögsebességét is meghatározhatjuk:

$$\omega_C = \frac{v_{AB}}{l} = \frac{3,6}{2} \text{ .}; \quad \underline{\underline{\omega_C = 1,8 \frac{1}{s}}}$$

3.13. A síkmozgás kinetikája

MOZGÁSEGYENLETEK

A merev test kinetikájának bizonyos tételeit már a 3.8. tárgycsoportban megismertük (munka-, perdület-, tömegközéppont- tétel). A tetszőleges erőrendszer hatása alatt álló merev test súlypontjának mozgását nyomon követhetjük a tömegközéppont tételével. A testnek a súlypont körül végbemenő mozgása általános esetben azonban igen bonyolult, ezért a továbbiakban feltesszük, hogy a testre ható külső erők a test egy főtehetetlenségi síkjába esnek.

Ha még feltesszük, hogy a mozgás kezdetén a test pontjai nyugalomban vannak, vagy sebességük párhuzamos az említett síkkal, akkor a létrejövő mozgás síkmozgás lesz, melynek alapsíkja a főtehetetlenségi sík.

A mozgás vizsgálata végett vegyünk fel egy derékszögű koordináta rendszert úgy, hogy az x , y sík a főtehetetlenségi sík legyen. Ekkor a külső erőrendszer F_x , F_y komponensei, a test tömege és súlypont-koordinátái között fennáll a következő kapcsolat:

$$\left. \begin{aligned} F_x &= m\ddot{x}_s \\ F_y &= m\ddot{y}_s \end{aligned} \right\} (\text{súlypont - tétel}).$$

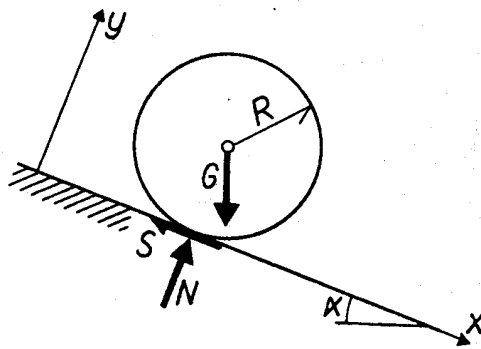
Ha a külső erők nyomatéka a z tengellyel párhuzamos M_z , a perdület Π_z ,

$$\frac{d\Pi_z}{dt} = M_z, \text{ (perdület-tétel).}$$

A fenti három egyenlet közül az első kettő a súlypont mozgására, a harmadik az alapsíkra merőleges főtehetetlenségi tengely körüli mozgásra vonatkozik. Az egyenletek alkalmazási módját példán szemléltetjük.

Vizsgáljuk meg egy érdes lejtőn legördülő farönk mozgását. A rönk súlya G , sugara R , a lejtő hajlásszöge α , a súrlódási tényező μ . A lejtő által a rönkre gyakorolt erő összetevői S és N .

A koordináta rendszert célszerű a 194. ábrán látható módon felvenni.



194.ábra

A mozgásegyenletek:

$$G \sin \alpha - S = \frac{G}{g} \ddot{x}$$

$$\underline{SR = \Theta \beta}$$

Az egyenletekben \ddot{x} a súlypont gyorsulása, Θ a rönk tehetetlenségi nyomatéka a forgástengelyre. Az y irányú erők érdektelenek, hiszen y irányú mozgás nincs.

Az ismeretlenek: \ddot{x}, β és az S súrlódó erő, melynek nagysága maximálisan $\mu G \cos \alpha$.

Vegyük figyelembe, hogy tiszta gördülés esetén a súlypont sebessége és a rönk szögsebessége között a kapcsolat: $\dot{x} = R\omega$, ezért $\ddot{x} = R\beta$. Az $S = \Theta \frac{\beta}{R} = \Theta \frac{\ddot{x}}{R^2}$ súrlódó erőt az első egyenletbe helyettesítve és felhasználva, hogy $\Theta = \frac{1}{2} \frac{G}{g} R^2$,

$$\underline{\underline{\ddot{x} = \frac{2}{3} g \sin \alpha}}, \quad \underline{\underline{S = \frac{G}{3} \sin \alpha}}.$$

Mivel $S = \frac{G}{3} \sin \alpha \leq \mu G \cos \alpha$, $\operatorname{tg} \alpha \leq 3\mu$.

A munkatétel alkalmazásával kapcsolatban szükség lehet a síkmozgást végző merev test kinetikai energiájának számítására. Ez kétféleképpen történhet: Számíthatjuk a pillanatnyi forgó mozgást végző test energiáját az

$$E_k = \frac{1}{2} \Theta \omega^2$$

Képlettel, ahol Θ a test pillanatnyi forgástengelyre vonatkozó tehetetlenségi nyomatéka, ω a pillanatnyi szögsebesség. Ha az adott pillanatban a súlypont pályasebessége v_s , a szögsebesség ω , a súlyponti z főtengelyre számított tehetetlenségi nyomaték Θ_z , akkor az m tömegű test kinetikai energiája így is számítható:

$$E_k = \frac{1}{2}mv_s^2 + \frac{1}{2}\Theta_z\omega^2.$$

Hasonlóan számítható a test perdülete is az alapsíkra merőleges valamely ξ tengelyre: a súlypontba koncentrált teljes tömegnek a fix tengelyre számított perdületéhez hozzáadjuk a súlyponti tengelyre vonatkozó perdületet:

$$\Pi_\xi = mv_s d + \Theta_z \omega \quad (d \text{ a mozgásmennyiség-vektor távolsága } \xi \text{-től}).$$

A skaláris perdület számításánál figyelembe kell venni a jobb oldalon álló perdület előjelét.

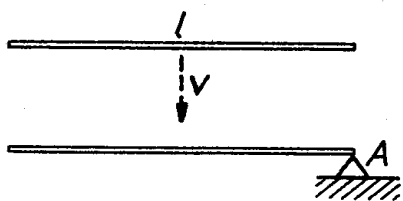
3.14. Ütközés

Ha síkmozgást végző test valamilyen akadálnak ütközik, a test pontjainak sebessége és gyorsulása igen rövid idő alatt nagymértékben megváltoztat. A nagy sebességváltozásból az impulzustétel alapján nagy erőkre következtetünk.

A továbbiakban feltesszük, hogy az ütközési erőkhöz képest az egyéb erők elhanyagolhatók és a testnek az ütközés alatti helyzetváltozása jelentéktelen.

Célunk az lesz, hogy a test ütközés utáni mozgására nézve nyerjünk felvilágosítást. E célból jól felhasználható a perdület-tétel. Ha a síkmozgást végző test perdületét a mozgás síkjában található akadály azon pontjára számítjuk, mely ütközési ponttá fog válni (illetőleg arra a z tengelyre mely e ponton átmegy s az alapsíkra merőleges), azt találjuk, hogy az ütközés előtti és utáni perdület egyenlő egymással. Az ütközési pontban fellépő erők nyomatéka ugyanis e pontra zérus, az egyéb erőket elhanyagolhatjuk, tehát $\frac{d\Pi_z}{dt} = M_z = 0$, a perdület tehát állandó.

Ezen észrevétel alkalmazhatóságát két példán szemléltetjük. Egy vízszintes helyzetű,



szabadon eső G súlyú. L hosszúságú gerenda egyik vége akadályba ütközik (195. ábra). Számítsuk ki a gerenda ütközési szögsebességét, ha az ütközés előtti pillanatban a gerenda sebessége v .

195.ábra

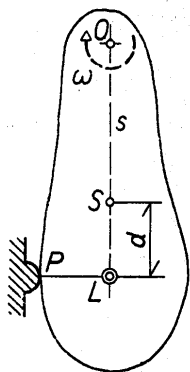
Perdület az ütközés előtt: $\Pi_A / \frac{G}{g} v \frac{1}{2}$.

Perdület az ütközés után:

$$\Pi'_A = \frac{G}{g} \frac{1}{2} \omega \frac{1}{2} + \frac{G}{g} \frac{1^2}{12} \omega.$$

A két perdület egyenlőségéből: $\omega = \underline{\underline{\frac{3v}{2l}}}$.

Másik problémaként vizsgáljuk meg, hogy egy vízszintes tengely körül forgatható merev test – fizikai inga – ütközésénél mi a feltétele annak, hogy az ütközés következtében ne terheljék járulékos reakciók a csapágyat.



196.ábra

Legyen a test súlypontja S, a forgástengely és a főtehetetlenségi sík döféspontja O, az ütközési erő hatásvonalának S-től mért távolsága d (196. ábra). Ezt a d távolságot akarjuk meghatározni.

Írjuk fel a perdületeket az ütközési pontra!

Ha a pillanatnyi szögsebesség ω a test tömege m, tehetetlenségi nyomatéka Θ , akkor ütközés előtt:

$$\Pi_p = m\omega sd - \Theta\omega.$$

Ütközéskor a testre ható erők: a súlyerő, melyet elhanyagolunk, a P ponton ébredő ütközési erő, melynek P-re nincs nyomatéka. Feltételünk szerint O-ban az ütközés következtében nem ébred erő, tehát a testre ható összes erőnek a P pontra vonatkoztatott nyomatéka zérus, az ütközés előtt és azt követően.

A $\frac{d\Pi}{dt} = M$ tétel értelmében – mivel most $M=0$ – a perdület nem változik, tehát

$\Pi_p = \Pi'_p = 0$, azaz az ütközés előtti perdület egyenlő az ütközés utáni perdülettel:
 $m\omega sd - \Theta\omega = 0$.

Ha i jelöli a testnek a súlyponti tengelyre vonatkozó inerciasugarát, akkor a fenti egyenletet így írhatjuk:

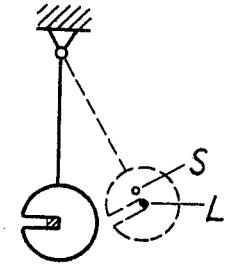
$$msd - mi^2 = 0,$$

a keresett d távolság tehát:

$$d = \frac{i^2}{s}$$

Az így megadott d távolság csak a test tehetetlenségi sugarától és a forgástengely s távolságától függ. A súlyponttól d távolságra lévő L pont a testnek az adott felfüggesztéséhez tartozó lökésközéppontja.

Helyesen megtervezett ütő eszköz – például a lengőkalapács – az ütést a megfogási (felfüggesztési) pontra vonatkozó lökésközéppontban kapja (197. ábra).



197.ábra

R sugarú, G súlyú henger tengelye körül ω_0 szögsebességgel forog. A hengert lassan egy érdes síkra helyezük a 198. ábra szerint.

Határozzuk meg a henger tengelyének végleges sebességét.

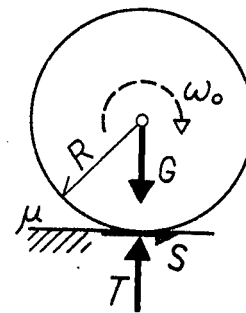
Megoldás.

A hengerre ható erők kezdetben: a G súlyerő és a vele egyenlő T támasztó erő, továbbá az $S = \mu G$ súrlódó erő.

A mozgásegyenletek:

$$\mu G = \frac{G}{g} \ddot{x}$$

$$\mu GR = \frac{1}{2} \frac{G}{g} R^2 \beta$$



198.ábra

$\ddot{x} = \mu g, \beta = \frac{2\mu g}{R} \cdot \ddot{x}$ a tengely gyorsulása, β a szöggyorsulás. A henger szögsebessége:

$\omega = \omega_0 - \frac{2\mu g}{R} t$. A henger mindaddig csúszva gördül a talajon, míg a tiszta gördülés $R \omega = v$

feltétel nem teljesül. Az eddig eltelt idő $v = \dot{x}t = \mu g t = R(\omega_0 - \frac{2\mu g}{R}t) -$ bővebb $t = \frac{R\omega_0}{2\mu g}$. A

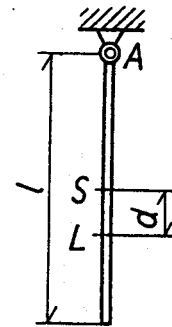
szögsebesség végső értéke $\omega = \omega_0 - \frac{2\mu g}{R} \frac{R\omega_0}{2\mu g}$, $\omega = \frac{\omega_0}{3}$, a tengely sebessége: $v = \frac{R\omega_0}{3}$.

43. Példa

Számítsuk ki egy egyik végpontjánál felfüggesztett, l hosszúságú, G súlyú rúd lökés középpontjának távolságát a felfüggesztési ponttól (199. ábra).

$$d = \frac{i^2}{s}, \quad \Theta = \frac{G}{g} \frac{l^2}{12} = \frac{G}{g}$$

$$i^2 = \frac{l^2}{12}, \quad s = \frac{l}{2}, \quad d = \frac{l}{6}.$$



199. ábra

A felfüggesztési ponttól az L lökés középpontig mért távolság

$$\overline{AL} = \frac{2}{3}l.$$

Felhasznált és ajánlott irodalom

CHOLNOKY T.: Mechanika I., II., III. Bp. 1966. 68.

FALK S. : Műszaki Mechanika Bp. 1972.

Dr. HUSZÁR I.: Mechanika I., II., III., IV. (egyetemi jegyzet) Gödöllő 1972-75.

MUTTNYÁNSZKY Á.: Statika Bp. 1961.

MUTTNYÁNSZKY Á.: Szilárdságtan Bp. 1956.

MUTTNYÁNSZKY Á.: Kinematika és kinetika Bp. 1961.

Dr. PELIKÁN J.: Szilárdságtan Bp. 1972.

Dr. Rónai F.: Mechanika I., II. Sopron, 1973.

TIMOSHENKO S.: Engineering Mechanics New York, Toronto, London 1956.

WOOD HANDBOOK. US Gov. Printing Office 1974.

YOUNG D.H. Engineering Mechanics New York, Toronto, London 1956.